

MC558 — Análise de Algoritmos II

Cid C. de Souza Cândia N. da Silva Orlando Lee

26 de abril de 2023

Antes de mais nada...

- Uma versão anterior deste conjunto de slides foi preparada por Cid Carvalho de Souza e Cândida Nunes da Silva para uma instância anterior desta disciplina.
- O que vocês tem em mãos é uma versão modificada preparada para atender a meus gostos.
- Nunca é demais enfatizar que o material é apenas um **guia** e não deve ser usado como única fonte de estudo. Para isso consultem a bibliografia (em especial o CLR ou CLRS).

Orlando Lee

Agradecimentos (Cid e Cândida)

- Várias pessoas contribuíram **direta ou indiretamente** com a preparação deste material.
- Algumas destas pessoas cederam gentilmente seus arquivos digitais enquanto outras cederam gentilmente o seu tempo fazendo correções e dando sugestões.
- Uma lista destes “colaboradores” (**em ordem alfabética**) é dada abaixo:
 - ▶ Célia Picinin de Mello
 - ▶ José Coelho de Pina
 - ▶ Orlando Lee
 - ▶ Paulo Feofiloff
 - ▶ Pedro Rezende
 - ▶ Ricardo Dahab
 - ▶ Zanoni Dias

Um **caminho** em um grafo $G = (V, E)$ é uma sequência:

$$P := (v_0, v_1, \dots, v_k)$$

em que $v_i \in V$ para $i = 0, 1, 2, \dots, k$ e $(v_{i-1}, v_i) \in E$ para $i = 1, 2, \dots, k$.

Um caminho é **simples** se todos os vértices são distintos.

Observação: em muitos textos, o usual é chamar de **passeio** o que CLRS chama de caminho e chamar de **caminho** o que CLRS chama de caminho simples.

Um **ciclo** em um grafo $G = (V, E)$ é uma sequência:

$$C := (v_0, v_1, \dots, v_k)$$

em que $v_0 = v_k$, $v_i \in V$ para $i = 0, 1, 2, \dots, k$ e $(v_{i-1}, v_i) \in E$ para $i = 1, 2, \dots, k$.

Um ciclo é **simples** se v_1, v_2, \dots, v_k são todos distintos.

Observação: em muitos textos, o usual é chamar de **passeio fechado** o que CLRS chama de ciclo e chamar de **ciclo** o que CLRS chama de ciclo simples.

Problema do(s) Caminho(s) Mínimo(s)

Seja G um grafo **orientado** e suponha que para cada aresta (u, v) associamos um **peso** (custo) $\omega(u, v)$. Usaremos a notação (G, ω) .

- **Problema do Caminho Mínimo entre Dois Vértices:**

Dados dois vértices s e t em (G, ω) , encontrar um caminho (de peso) mínimo de s a t .

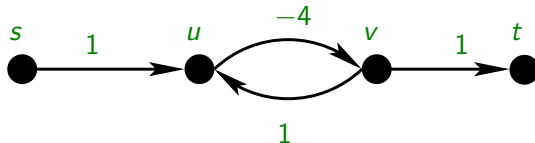
- Aparentemente, este problema não é mais fácil do que o

Problema dos Caminhos Mínimos com Mesma Origem:

Dados (G, ω) e $s \in V[G]$, encontrar para cada vértice v de G , um caminho mínimo de s a v .

Ciclos negativos

- Um ciclo C é **negativo** se $\omega(C) := \sum_{e \in E(C)} \omega(e) < 0$.
- Se (G, ω) contém **ciclos negativos** podem existir caminhos de s a t de peso arbitrariamente pequeno.



- Se existe um caminho mínimo de s a t , então existe um caminho mínimo de s a t que é simples.
- Os algoritmos que veremos trabalham com instâncias **sem ciclos negativos**.

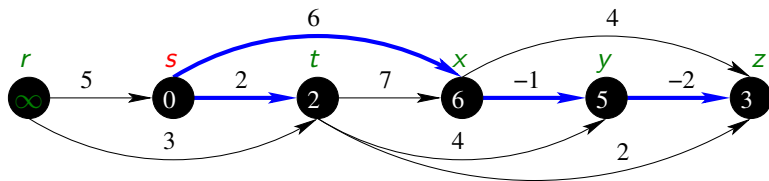
Seja (G, ω) um grafo orientado ponderado e sejam $s, t \in V[G]$. A distância de s a t é o peso de um caminho de peso mínimo de s a t , se ele existir.

Se não existe caminho de s a t em G , então $\text{dist}(s, t) = \infty$.

Se existem caminhos de s a t de peso arbitrariamente pequeno, então $\text{dist}(s, t) = -\infty$.

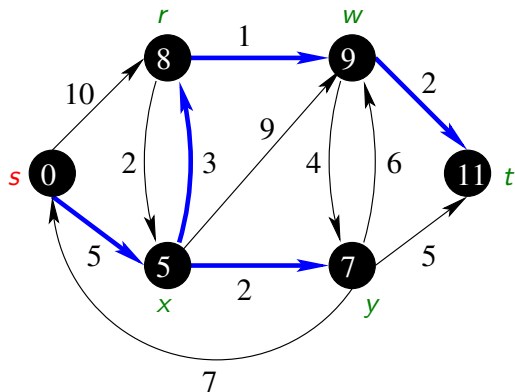
O Problema dos Caminhos Mínimos com Mesma Origem consiste em determinar $\text{dist}(s, v)$ para todo $v \in V$ (e achar os caminhos mínimos também).

Exemplo: grafo orientado acíclico



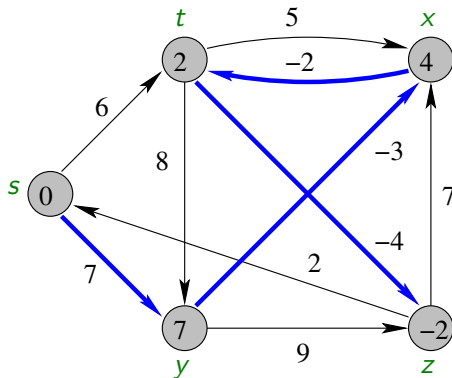
v	s	r	t	x	y	z
$\text{dist}(s, v)$	0	∞	2	6	5	3

Exemplo: grafo orientado sem arestas negativas



v	s	r	x	y	w	t
$\text{dist}(s, v)$	0	8	5	7	9	11

Exemplo: grafo orientado sem ciclos negativos



v	s	t	x	y	z
$\text{dist}(s, v)$	0	2	4	7	-2

Ideias comuns a todos os algoritmos

- Usamos uma idéia similar à usada em Busca em Largura nos algoritmos de caminhos mínimos que veremos.
- Para cada vértice $v \in V[G]$ associamos um predecessor $\pi[v]$.
- Ao final do algoritmo obtemos uma **Árvore de Caminhos Mínimos** com raiz s .
- Um caminho de s a v nesta árvore é um caminho mínimo de s a v em (G, ω) .

Subestrutura ótima de caminhos mínimos

Lema 24.1, CLRS Seja (G, ω) um grafo orientado e seja

$$P = (v_1, v_2, \dots, v_k)$$

um caminho mínimo de v_1 a v_k .

Então para quaisquer i, j com $1 \leq i \leq j \leq k$

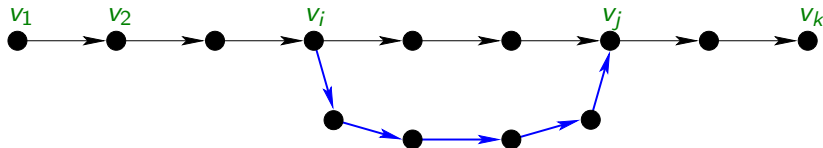
$$P_{ij} = (v_i, v_{i+1}, \dots, v_j)$$

é um caminho mínimo de v_i a v_j .



Subestrutura ótima de caminhos mínimos

Prova. Suponha por contradição que $P_{ij} = (v_i, v_{i+1}, \dots, v_j)$ não seja um caminho mínimo de v_i a v_j . Assim, existe um caminho Q de v_i a v_j tal que $\omega(Q) < \omega(P_{ij})$.



Mas então o caminho $(v_0, \dots, v_i)Q(v_j, \dots, v_k)$ tem peso menor que o peso de P , uma contradição. ■

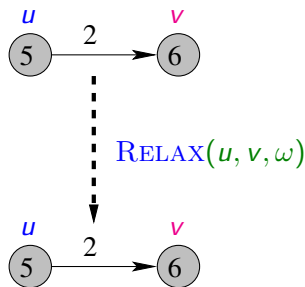
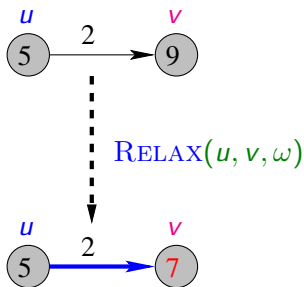
INITIALIZE-SINGLE-SOURCE(G, s)

```
1  para cada vértice  $v \in V[G]$  faça  
2       $d[v] \leftarrow \infty$   
3       $\pi[v] \leftarrow \text{NIL}$   
4   $d[s] \leftarrow 0$ 
```

- O valor $d[v]$ é uma **estimativa superior** de $\text{dist}(s, v)$, o peso de um caminho mínimo de s a v .
- Se $d[v] < \infty$, então o algoritmo encontrou até aquele momento um caminho de s a v com peso $d[v]$.
- O caminho de s a v pode ser recuperado por meio dos predecessores $\pi[\]$, se não houver **ciclos negativos**.

Relaxação

Tenta melhorar a estimativa $d[v]$ examinando (u, v) .

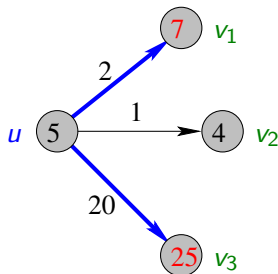
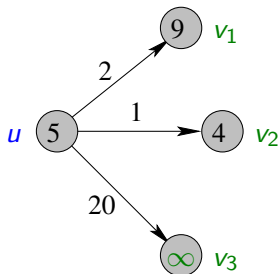


$\text{RELAX}(u, v, \omega)$

- 1 se $d[v] > d[u] + \omega(u, v)$ então
- 2 $d[v] \leftarrow d[u] + \omega(u, v)$
- 3 $\pi[v] \leftarrow u$

Relaxação dos vizinhos

Em cada iteração o algoritmo seleciona um vértice u e para cada vizinho v de u aplica $\text{RELAX}(u, v, \omega)$.



$\text{RELAX}(u, v, \omega)$

- 1 **se** $d[v] > d[u] + \omega(u, v)$ **então**
- 2 $d[v] \leftarrow d[u] + \omega(u, v)$
- 3 $\pi[v] \leftarrow u$

Veremos três algoritmos baseados em **relaxação** para tipos de instâncias diferentes de Problemas de Caminhos Mínimos.

- G é **acíclico**: aplicação de ordenação topológica
- (G, ω) **não** tem arestas de **peso negativo**: algoritmo de Dijkstra
- (G, ω) tem arestas de peso negativo, mas **não** contém **ciclos negativos**: algoritmo de Bellman-Ford.

Caminhos mínimos em grafos acíclicos

Seja G_π com conjunto de vértices $V_\pi = \{s\} \cup \{v \in V : \pi[v] \neq \text{NIL}\}$ e conjunto de arestas $E_\pi = \{(\pi[v], v) : v \in V, \pi[v] \neq \text{NIL}\}$.

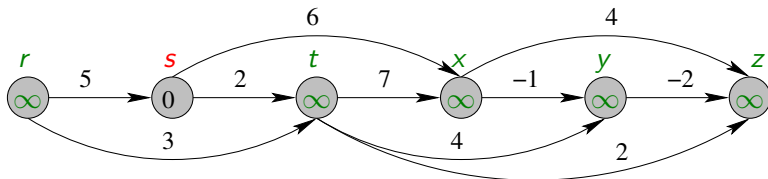
Entrada: grafo orientado acíclico (G, ω) e origem $s \in V[G]$.

Saída: um vetor $d[\]$ tal que $d[v] = \text{dist}(s, v)$ para $v \in V[G]$
e um vetor $\pi[\]$ tal que G_π é uma **Árvore de Caminhos Mínimos** com raiz s de (G, ω) .

DAG-SHORTEST-PATHS (G, ω, s)

- 1 Ordene topologicamente os vértices de G
- 2 **INITIALIZE-SINGLE-SOURCE** (G, s)
- 3 **para cada** vértice u na ordem topológica **faça**
- 4 **para cada** $v \in \text{Adj}[u]$ **faça**
- 5 **RELAX** (u, v, ω)
- 6 **devolva** d, π

Exemplo



RELAX(u, v, ω)

se $d[v] > d[u] + \omega(u, v)$

então

$d[v] \leftarrow d[u] + \omega(u, v)$

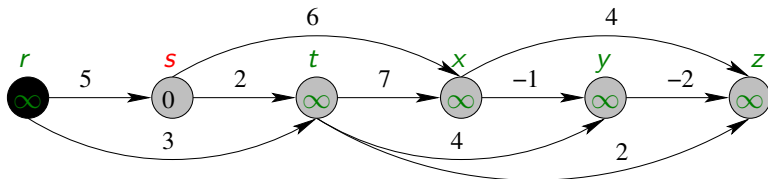
$\pi[v] \leftarrow u$

para cada vértice u na o.t. faça

para cada $v \in \text{Adj}[u]$ faça

RELAX(u, v, ω)

Exemplo



RELAX(u, v, ω)

se $d[v] > d[u] + \omega(u, v)$

então

$d[v] \leftarrow d[u] + \omega(u, v)$

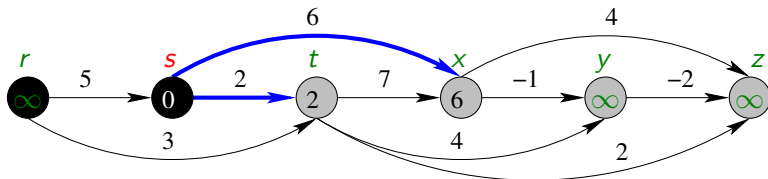
$\pi[v] \leftarrow u$

para cada vértice u na o.t. faça

para cada $v \in \text{Adj}[u]$ faça

RELAX(u, v, ω)

Exemplo



RELAX(u, v, ω)

se $d[v] > d[u] + \omega(u, v)$

então

$d[v] \leftarrow d[u] + \omega(u, v)$

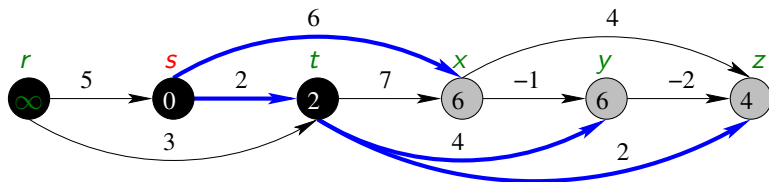
$\pi[v] \leftarrow u$

para cada vértice u na o.t. faça

para cada $v \in \text{Adj}[u]$ faça

RELAX(u, v, ω)

Exemplo



RELAX(u, v, ω)

se $d[v] > d[u] + \omega(u, v)$

então

$d[v] \leftarrow d[u] + \omega(u, v)$

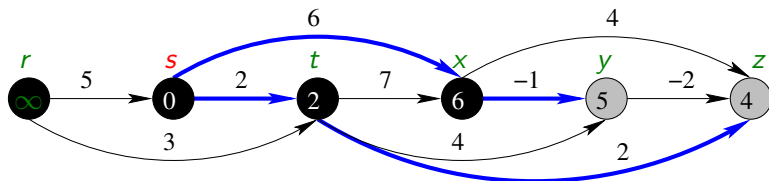
$\pi[v] \leftarrow u$

para cada vértice u na o.t. faça

para cada $v \in \text{Adj}[u]$ faça

RELAX(u, v, ω)

Exemplo



RELAX(u, v, ω)

se $d[v] > d[u] + \omega(u, v)$

então

$d[v] \leftarrow d[u] + \omega(u, v)$

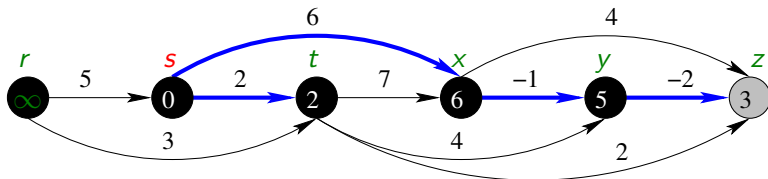
$\pi[v] \leftarrow u$

para cada vértice u na o.t. faça

para cada $v \in \text{Adj}[u]$ faça

RELAX(u, v, ω)

Exemplo



RELAX(u, v, ω)

se $d[v] > d[u] + \omega(u, v)$

então

$d[v] \leftarrow d[u] + \omega(u, v)$

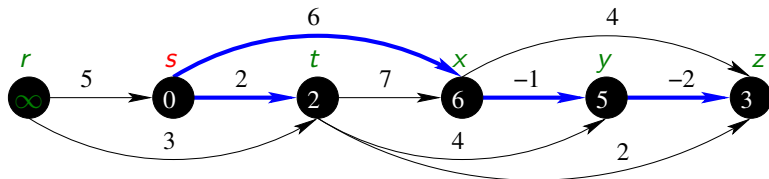
$\pi[v] \leftarrow u$

para cada vértice u na o.t. faça

para cada $v \in \text{Adj}[u]$ faça

RELAX(u, v, ω)

Exemplo



RELAX(u, v, ω)

se $d[v] > d[u] + \omega(u, v)$

então

$d[v] \leftarrow d[u] + \omega(u, v)$

$\pi[v] \leftarrow u$

para cada vértice u na o.t. faça

para cada $v \in \text{Adj}[u]$ faça

RELAX(u, v, ω)

Complexidade DAG-SHORTEST-PATHS

DAG-SHORTEST-PATHS(G, ω, s)

- 1 Ordene topologicamente os vértices de G
- 2 INITIALIZE-SINGLE-SOURCE(G, s)
- 3 **para cada** vértice u na ordem topológica **faça**
- 4 **para cada** $v \in \text{Adj}[u]$ **faça**
- 5 RELAX(u, v, ω)
- 6 **devolva** d, π

Linha(s)	Tempo total
1	$O(V + E)$
2	$O(V)$
3-5	$O(V + E)$

Complexidade de DAG-SHORTEST-PATHS: $O(V + E)$

A corretude de **DAG-SHORTEST-PATHS** pode ser demonstrada de várias formas.

Vamos mostrar alguns lemas/observações que serão úteis na análise de corretude deste e dos outros algoritmos.

Desigualdade triangular

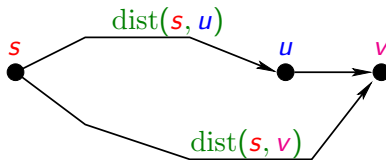
Lema 24.10, CLRS Para toda aresta (u, v) temos que

$$\text{dist}(s, v) \leq \text{dist}(s, u) + \omega(u, v).$$

Prova. Suponha que existe um caminho mínimo P de s a u . Logo $P + (u, v)$ é um caminho de s a v de peso

$$\omega(P) + \omega(u, v) = \text{dist}(s, u) + \omega(u, v).$$

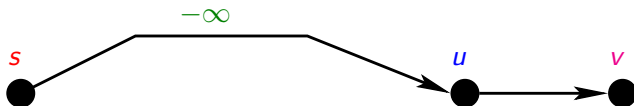
Portanto, $\text{dist}(s, v) \leq \text{dist}(s, u) + \omega(u, v)$.



Desigualdade triangular

Se não existe caminho de s a u em G (i.e., $\text{dist}(s, u) = \infty$), então claramente $\text{dist}(s, v) \leq \text{dist}(s, u) + \omega(u, v)$.

Finalmente, se existem caminhos de peso arbitrariamente pequeno de s a u (i.e., $\text{dist}(s, u) = -\infty$), então $\text{dist}(s, v) = -\infty$. ■



Propriedades de um algoritmo baseado em relaxação

As propriedades que veremos valem para qualquer “algoritmo” que satisfaz as restrições abaixo.

- A inicialização é feita por `INITIALIZE-SINGLE-SOURCE(G, s)`.
- Um valor $d[v]$ (e $\pi[v]$) só pode ser modificado através de uma chamada de `RELAX(u, v, w)` para alguma aresta (u, v) .

Observação: o “algoritmo” pode executar outras instruções, mas estamos interessados apenas nos valores de $d[]$ e $\pi[]$. Assim, analisamos apenas o que acontece após chamadas a `INITIALIZE-SINGLE-SOURCE` ou `RELAX`.

A seguir apresentamos propriedades que valem durante a execução do “algoritmo”.

Propriedades de um algoritmo baseado em relaxação

INITIALIZE-SINGLE-SOURCE(G, s)

```
1  para cada vértice  $v \in V[G]$  faça
2       $d[v] \leftarrow \infty$ 
3       $\pi[v] \leftarrow \text{NIL}$ 
4   $d[s] \leftarrow 0$ 
```

RELAX(u, v, ω)

```
1  se  $d[v] > d[u] + \omega(u, v)$  então
2       $d[v] \leftarrow d[u] + \omega(u, v)$ 
3       $\pi[v] \leftarrow u$ 
```


Propriedades de um algoritmo baseado em relaxação

Lema 24.11, CLRS Em qualquer iteração, $d[v] \geq \text{dist}(s, v)$ para $v \in V[G]$ e $d[v]$ nunca aumenta.

Além disso, se $d[v]$ torna-se igual a $\text{dist}(s, v)$, então seu valor nunca mais muda.

Prova. Mostraremos que $d[v] \geq \text{dist}(s, v)$ por indução no número de relaxações (chamadas a **RELAX**).

Base: após a inicialização, claramente $d[v] \geq \text{dist}(s, v)$ pois $d[v] = \infty$ para $v \in V - \{s\}$ e $d[s] = \infty \geq \text{dist}(s, s) \in \{0, -\infty\}$.

Propriedades de um algoritmo baseado em relaxação

Hipótese de indução: suponha que $d[v] \geq \text{dist}(s, v)$ para todo $v \in V$ após um certo número de chamadas a RELAX.

Vejamos o que acontece após uma próxima chamada a RELAX(u, v, ω). Note que apenas o valor de $d[v]$ pode mudar.

Se $d[v]$ não é modificado, então a propriedade se mantém. Se $d[v]$ é modificado, então

$$\begin{aligned} d[v] &= d[u] + \omega(u, v) \\ &\geq \text{dist}(s, u) + \omega(u, v) \quad (\text{HI}) \\ &\geq \text{dist}(s, v) \quad (\text{desigualdade triangular}) \end{aligned}$$

e o resultado segue.

Finalmente, suponha que $d[v] = \text{dist}(s, v)$. Então o valor $d[v]$ não pode mais diminuir pois mostramos que $d[v] \geq \text{dist}(s, v)$ durante a execução do algoritmo. ■

Propriedades de um algoritmo baseado em relaxação

Corolário 24.12, CLRS Se não existe caminho de s a v , então $d[v] = \text{dist}(s, v) = \infty$ em qualquer iteração.

Prova. Pelo Lema 24.11, em qualquer iteração $d[v] \geq \text{dist}(s, v) = \infty$. Como $d[v] = \infty$ após a inicialização, o resultado segue. ■

Propriedades de um algoritmo baseado em relaxação

RELAX(u, v, ω)

```
1  se  $d[v] > d[u] + \omega(u, v)$  então
2     $d[v] \leftarrow d[u] + \omega(u, v)$ 
3     $\pi[v] \leftarrow u$ 
```

Lema 24.13 Imediatamente após uma chamada RELAX(u, v), temos que $d[v] \leq d[u] + \omega(u, v)$. ■

Propriedades de um algoritmo baseado em relaxação

Lema 24.14, CLRS Seja P um caminho mínimo de s a v cuja última aresta é (u, v) e suponha que $d[u] = \text{dist}(s, u)$ e que uma sequência de relaxações que inclui $\text{RELAX}(u, v)$ é executada. Então imediatamente após isto, temos que $d[v] = \text{dist}(s, v)$ e $d[v]$ nunca mais muda.

Prova. Note que $\omega(P) = \text{dist}(s, v) = \text{dist}(s, u) + \omega(u, v)$ pelo Lema 24.1. Então após a chamada $\text{RELAX}(u, v, \omega)$, temos $d[v] \leq d[u] + \omega(u, v) = \text{dist}(s, u) + \omega(u, v) = \text{dist}(s, v)$. Pelo Lema 24.11, segue que $d[v] = \text{dist}(s, v)$ e $d[v]$ nunca mais muda. ■



Propriedades de um algoritmo baseado em relaxação

Lema 24.15, CLRS Seja $P = (v_0 = s, v_1, \dots, v_k)$ um caminho mínimo de $s = v_0$ a v_k e suponha que as arestas $(v_0, v_1), \dots, (v_{k-1}, v_k)$ são relaxadas nesta ordem.

Então após as relaxações, temos $d[v_k] = \text{dist}(s, v_k)$ e $d[v_k]$ nunca mais muda.

Provaremos por indução em i que após a relaxação da aresta (v_{i-1}, v_i) , temos $d[v_i] = \text{dist}(s, v_i)$.

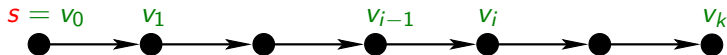
Base: $i = 0$ (antes de relaxar qualquer aresta de P). Claramente, $d[s] = 0 = \text{dist}(s, s)$.



Propriedades de um algoritmo baseado em relaxação

Hipótese de indução: suponha que $d[v_{i-1}] = \text{dist}(s, v_{i-1})$.

Como (v_0, \dots, v_i) é um caminho mínimo de s a v_i (Lema 24.1), segue do Lema 24.14 que após $\text{RELAX}(v_{i-1}, v_i, \omega)$ temos que $d[v_i] = \text{dist}(s, v_i)$ e este valor nunca mais muda pelo Lema 24.11. ■



Propriedades de um algoritmo baseado em relaxação

Seja G_π com conjunto de vértices $V_\pi = \{s\} \cup \{v \in V : \pi[v] \neq \text{NIL}\}$ e conjunto de arestas $E_\pi = \{(\pi[v], v) : v \in V, \pi[v] \neq \text{NIL}\}$.

Lema 24.16, CLRS Suponha que (G, ω) **não** contém **ciclos negativos** atingíveis por s . Então em qualquer iteração após a chamada **INITIALIZE-SINGLE-SOURCE**, o subgrafo G_π é uma árvore de raiz s . ■

Lema 24.17, CLRS Suponha que (G, ω) **não** contém **ciclos negativos** atingíveis por s . Suponha que sejam feitas uma chamada a **INITIALIZE-SINGLE-SOURCE** e uma sequência de chamadas a **RELAX** que resulta em $d[v] = \text{dist}(s, v)$ para todo $v \in V$. Então G_π é uma **Árvore de Caminhos Mínimos**. ■

Omitimos as provas aqui.

Correção de DAG-SHORTEST-PATHS

DAG-SHORTEST-PATHS(G, ω, s)

- 1 Ordene topologicamente os vértices de G
- 2 INITIALIZE-SINGLE-SOURCE(G, s)
- 3 **para cada** vértice u na ordem topológica **faça**
- 4 **para cada** $v \in \text{Adj}[u]$ **faça**
- 5 RELAX(u, v, ω)
- 6 **devolva** d, π

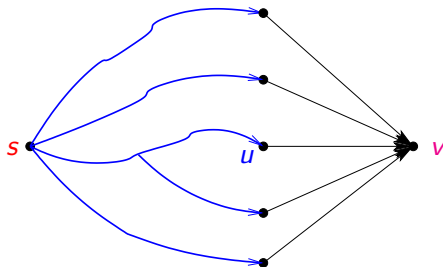
Como os vértices estão em ordem topológica, as arestas de qualquer caminho mínimo $P = (v_0 = s, v_1, \dots, v_k)$ são relaxadas na ordem $(v_0, v_1), \dots, (v_{k-1}, v_k)$.

Logo, pelo Lema 24.15 no final do algoritmo $d[v] = \text{dist}(s, v)$ para todo $v \in V$.

Pelo Lema 24.17, o vetor $\pi[]$ define uma **Árvore de Caminhos Mínimos** com raiz s . Isto mostra que DAG-SHORTEST-PATHS funciona corretamente.

Correção de DAG-SHORTEST-PATHS (alternativa)

Outra forma de mostrar a correção de DAG-SHORTEST-PATHS é observar que vale a seguinte **recorrência** para $\text{dist}(s, v)$:



$$\text{dist}(s, v) = \min_{u: v \in \text{Adj}[u]} \text{dist}(s, u) + \omega(u, v).$$

Correção de DAG-SHORTEST-PATHS (alternativa)

DAG-SHORTEST-PATHS(G, ω, s)

- 1 Ordene topologicamente os vértices de G
- 2 INITIALIZE-SINGLE-SOURCE(G, s)
- 3 **para cada** vértice u na ordem topológica **faça**
- 4 **para cada** $v \in \text{Adj}[u]$ **faça**
- 5 RELAX(u, v, ω)
- 6 **devolva** d, π

A correção de DAG-SHORTEST-PATHS segue por indução e da fórmula de recorrência

$$\text{dist}(s, v) = \min_{u: v \in \text{Adj}[u]} \text{dist}(s, u) + \omega(u, v).$$

Pergunta 1. Como se resolve o problema de encontrar um caminho de peso máximo de s a t em um grafo orientado acíclico (G, ω) ?

Pergunta 2. Como se resolve o Problema do Caminho Mínimo de s a t em tempo linear para um grafo orientado em que todas as arestas tem o mesmo peso $C > 0$?

Algoritmo de Dijkstra

Veremos agora um algoritmo para caminhos mínimos em grafos que podem conter ciclos, mas **sem arestas de peso negativo**.

O algoritmo foi proposto por E.W. Dijkstra e é bastante similar ao algoritmo de Prim para o problema da **Árvore Geradora Mínima**.

Algoritmo de Dijkstra

O algoritmo de Dijkstra recebe um grafo orientado (G, ω) (sem arestas de peso negativo) e um vértice s de G

e devolve

- para cada $v \in V[G]$, o valor $d[v] = \text{dist}(s, v)$
(ou seja, o peso de um caminho mínimo de s a v) e
- uma Árvore de Caminhos Mínimos com raiz s .

Um caminho de s a v nesta árvore tem peso $d[v]$,
ou seja, é um caminho mínimo de s a v em (G, ω) .

Revisão: algoritmos baseados em relaxação

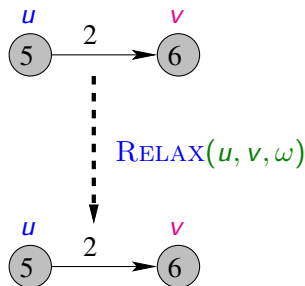
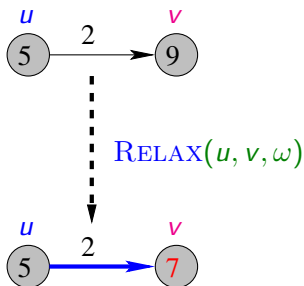
INITIALIZE-SINGLE-SOURCE(G, s)

```
1  para cada vértice  $v \in V[G]$  faça  
2       $d[v] \leftarrow \infty$   
3       $\pi[v] \leftarrow \text{NIL}$   
4   $d[s] \leftarrow 0$ 
```

- O valor $d[v]$ é uma **estimativa superior** de $\text{dist}(s, v)$, o peso de um caminho mínimo de s a v .
- Se $d[v] < \infty$, então o algoritmo encontrou até aquele momento um caminho de s a v com peso $d[v]$.
- O caminho de s a v pode ser recuperado por meio dos predecessores $\pi[\]$, se não houver **ciclos negativos**.

Revisão: relaxação

Tenta melhorar a estimativa $d[v]$ examinando (u, v) .

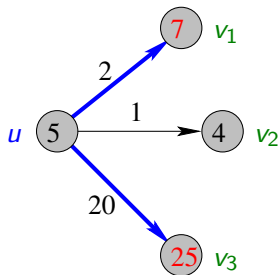
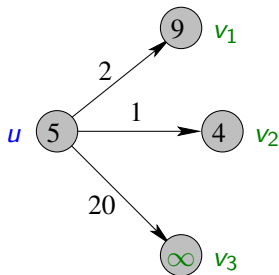


$\text{RELAX}(u, v, \omega)$

```
1  se  $d[v] > d[u] + \omega(u, v)$ 
2    então  $d[v] \leftarrow d[u] + \omega(u, v)$ 
3           $\pi[v] \leftarrow u$ 
```


Revisão: relaxação dos vizinhos

Em cada iteração o algoritmo seleciona um vértice u e para cada vizinho v de u aplica $\text{RELAX}(u, v, \omega)$.



$\text{RELAX}(u, v, \omega)$

- 1 **se** $d[v] > d[u] + \omega(u, v)$ **faça**
- 2 $d[v] \leftarrow d[u] + \omega(u, v)$
- 3 $\pi[v] \leftarrow u$

Revisão: algoritmos baseados em relaxação

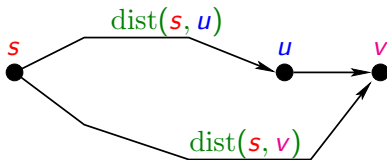
As propriedades que veremos valem para qualquer “algoritmo” que satisfaz as restrições abaixo.

- A inicialização é feita por $\text{INITIALIZE-SINGLE-SOURCE}(G, s)$.
- Um valor $d[v]$ (e $\pi[v]$) só pode ser modificado através de uma chamada de $\text{RELAX}(u, v, \omega)$ para alguma aresta (u, v) .

Revisão: algoritmos baseados em relaxação

Lema 24.10, CLRS Para toda aresta (u, v) temos que

$$\text{dist}(s, v) \leq \text{dist}(s, u) + \omega(u, v).$$



Lema 24.14, CLRS Seja P um caminho mínimo de s a v cuja última aresta é (u, v) e suponha que $d[u] = \text{dist}(s, u)$ e que uma sequência de relaxações que inclui $\text{RELAX}(u, v)$ é executada. Então imediatamente após isto, temos que $d[v] = \text{dist}(s, v)$ e $d[v]$ nunca mais muda.

Revisão: algoritmos baseados em relaxação

Seja G_π com conjunto de vértices $V_\pi = \{s\} \cup \{v \in V : \pi[v] \neq \text{NIL}\}$ e conjunto de arestas $E_\pi = \{(\pi[v], v) : v \in V, \pi[v] \neq \text{NIL}\}$.

Lema 24.16, CLRS Suponha que (G, ω) **não** contém **ciclos negativos** atingíveis por s . Então em qualquer iteração após a chamada **INITIALIZE-SINGLE-SOURCE**, o subgrafo G_π é uma árvore de raiz s . ■

Lema 24.17, CLRS Suponha que (G, ω) **não** contém **ciclos negativos** atingíveis por s . Suponha que sejam feitas uma chamada a **INITIALIZE-SINGLE-SOURCE** e uma sequência de chamadas a **RELAX** que resulta em $d[v] = \text{dist}(s, v)$ para todo $v \in V$. Então G_π é uma **Árvore de Caminhos Mínimos**. ■

Ideia do algoritmo de Dijkstra

- Suponha que encontramos até o momento um conjunto S formado pelos vértices **mais próximos** de s .
(Na primeira iteração $S = \{s\}$).
- O algoritmo mantém também uma **Árvore de Caminhos Mínimos** formada apenas por vértices de S .
- A ideia é estender o conjunto S (i.e., a árvore) acrescentando o vértice u em $V - S$ que esteja **mais próximo** de s .

Um detalhe importante é como encontrar tal vértice.

Algoritmo de Dijkstra

DIJKSTRA(G, ω, s)

```
1  INITIALIZE-SINGLE-SOURCE( $G, s$ )
2   $S \leftarrow \emptyset$ 
3   $Q \leftarrow V[G]$ 
4  enquanto  $Q \neq \emptyset$  faça
5       $u \leftarrow \text{EXTRACT-MIN}(Q)$ 
6       $S \leftarrow S \cup \{u\}$ 
7      para cada vértice  $v \in \text{Adj}[u]$  faça
8          RELAX( $u, v, \omega$ )
9  devolva  $d, \pi$ 
```

O conjunto Q é implementado como uma fila de prioridade com chave d .

O conjunto S não é realmente necessário, mas simplifica a análise do algoritmo.

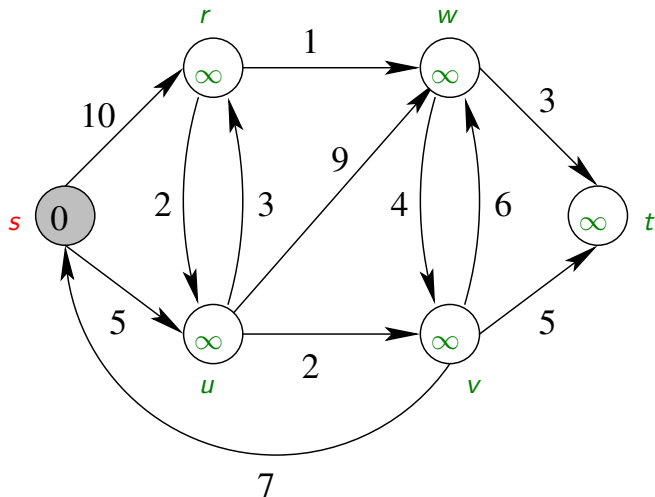
Algoritmo de Dijkstra

DIJKSTRA(G, ω, s)

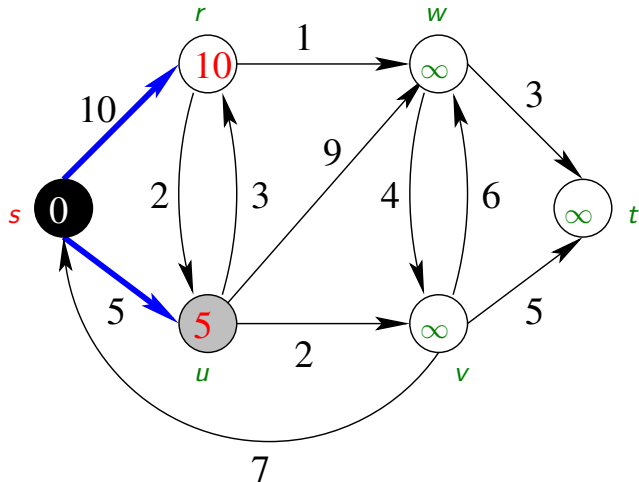
```
1  INITIALIZE-SINGLE-SOURCE( $G, s$ )
2   $S \leftarrow \emptyset$ 
3   $Q \leftarrow V[G]$ 
4  enquanto  $Q \neq \emptyset$  faça
5       $u \leftarrow \text{EXTRACT-MIN}(Q)$ 
6       $S \leftarrow S \cup \{u\}$ 
7      para cada vértice  $v \in \text{Adj}[u]$  faça
8          RELAX( $u, v, \omega$ )
9  devolva  $d, \pi$ 
```

Mostraremos que em cada iteração da linha 5, o vértice u com $d[u]$ mínimo é realmente o vértice de $V[G] - S$ que está mais próximo de s .

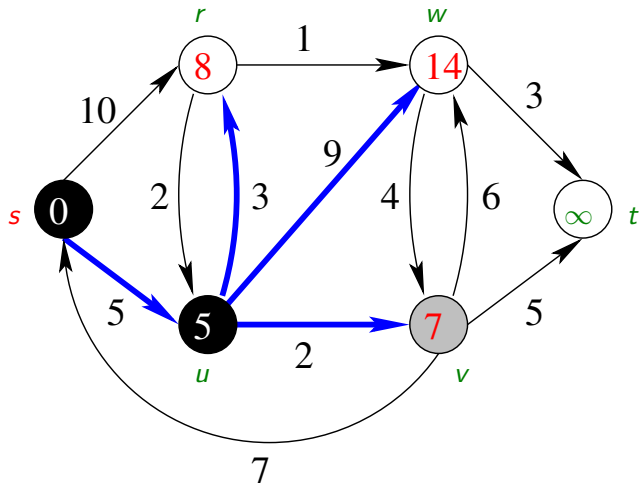
Exemplo (CLRS modificado)



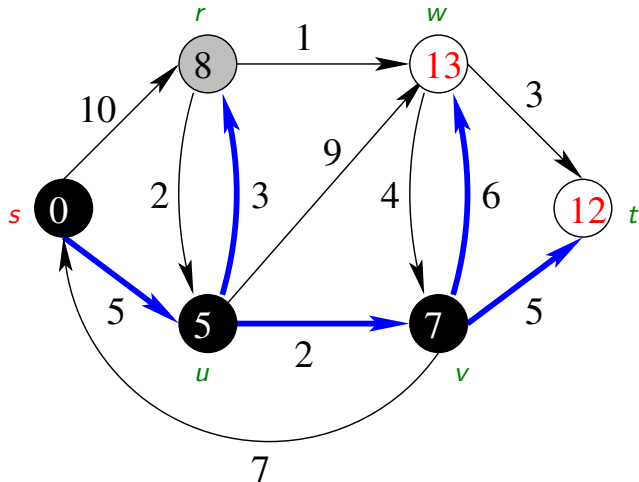
Exemplo (CLRS modificado)



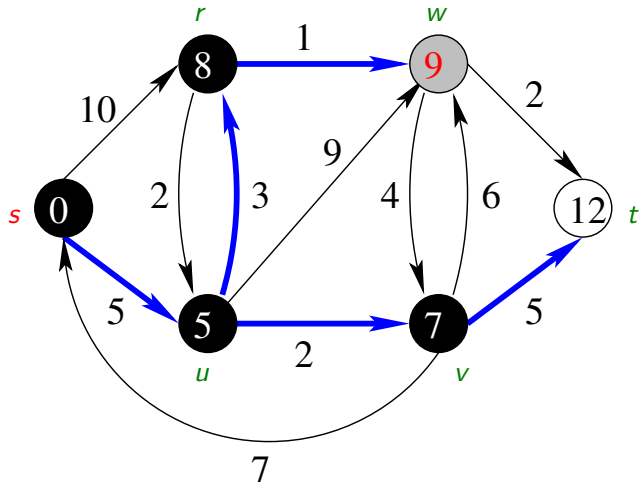
Exemplo (CLRS modificado)



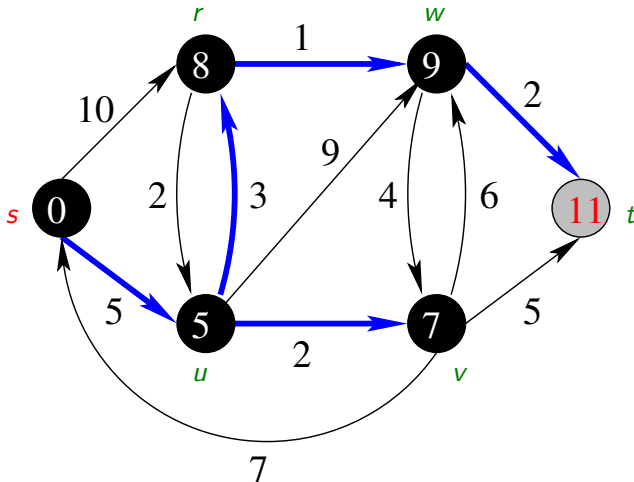
Exemplo (CLRS modificado)



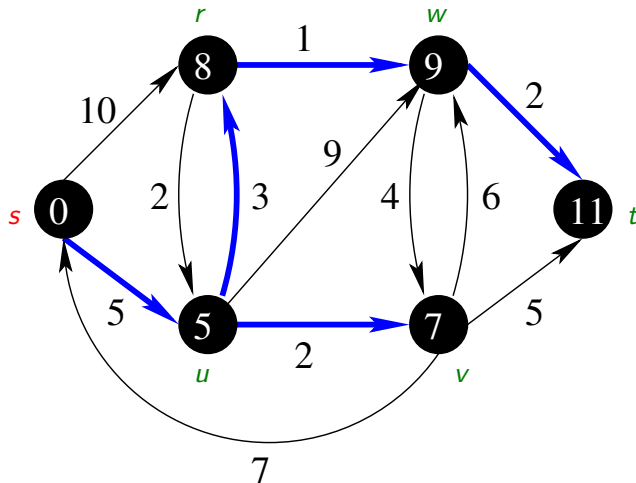
Exemplo (CLRS modificado)



Exemplo (CLRS modificado)



Exemplo (CLRS modificado)



Precisamos provar que quando o algoritmo pára, temos que

- $d[v] = \text{dist}(s, v)$ para todo $v \in V[G]$ e
- o grafo G_π é uma **Árvore de Caminhos Mínimos** com raiz s .

Invariante principal

O seguinte invariante vale no início de cada iteração da linha 4 no algoritmo **DIJKSTRA**.

Invariante: $d[x] = \text{dist}(s, x)$ para cada $x \in S$.

- Claramente o invariante vale na primeira iteração pois $S = \emptyset$.
Também vale no início da segunda iteração pois $S = \{s\}$ e $d[s] = 0$.
- No final do algoritmo, S é o conjunto dos vértices atingíveis por s .
Portanto, se o invariante vale, para cada $v \in V[G]$, o valor $d[v]$ é exatamente a distância de s a v .

Demonstração do invariante

- O algoritmo de DIJKSTRA escolhe um vértice u com menor $d[u]$ em Q e atualiza $S \leftarrow S \cup \{u\}$.
- Basta verificar então que neste momento $d[u] = \text{dist}(s, u)$.

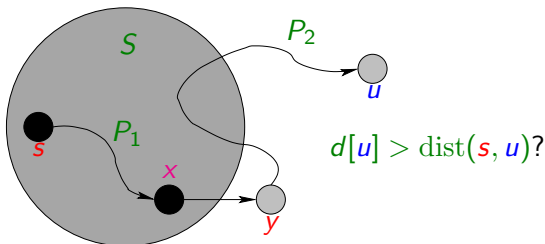
Suponha por contradição que em alguma iteração o algoritmo escolhe u tal que $d[u] > \text{dist}(s, u)$.

Podemos supor que u é o primeiro vértice para o qual isto ocorre.

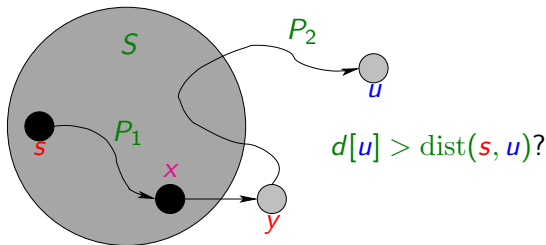
Note que $u \neq s$.

Demonstração

Seja P um caminho mínimo de s a u (ou seja, com peso $\text{dist}(s, u)$). Seja y o primeiro vértice de P que não pertence a S . Seja x o vértice em P que precede y .



Demonstração

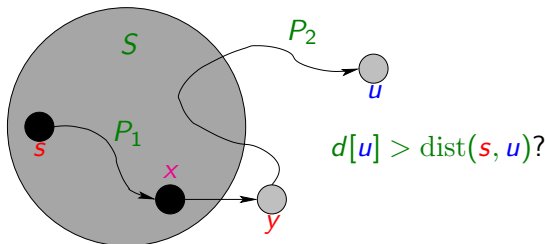


Primeiro, mostraremos que $d[y] = \text{dist}(s, y)$.

Por hipótese, quando x foi colocado em S , $d[x] = \text{dist}(s, x)$.

Neste instante, (x, y) foi relaxada e portanto, pelo Lema 24.14 temos $d[y] = \text{dist}(s, y)$.

Demonstração



Então

$$\begin{aligned} d[y] &= \text{dist}(s, y) \\ &= \omega(P_1) + \omega(x, y) \\ &\leq \omega(P_1) + \omega(x, y) + \omega(P_2) \\ &= \text{dist}(s, u) < d[u]. \end{aligned}$$

Mas então $d[y] < d[u]$ o que contraria a escolha de u .

Demonstração

Isto mostra que ao final do algoritmo de Dijkstra, temos $d[v] = \text{dist}(s, v)$ para todo $v \in V[G]$. Do Lema 24.17 segue que G_π é uma **Árvore de Caminhos Mínimos** com raiz s de (G, ω) . ■

A prova acima implica que os vértices u são colocados em S em ordem não-decrescente dos valores $\text{dist}(s, u)$.

Na demonstração foi importante o fato de não haver **arestas negativas** no grafo. De fato, não se pode garantir que o algoritmo de Dijkstra funciona se o grafo de entrada não satisfaz esta restrição.

Exercício. Encontre um grafo orientado ponderado com 4 vértices para o qual o algoritmo de Dijkstra **não** funciona. Há pelo menos um exemplo com apenas uma única aresta negativa e sem ciclos de peso negativo.

Complexidade de tempo

DIJKSTRA(G, ω, s)

```
1  INITIALIZE-SINGLE-SOURCE( $G, s$ )
2   $S \leftarrow \emptyset$ 
3   $Q \leftarrow V[G]$ 
4  enquanto  $Q \neq \emptyset$  faça
5       $u \leftarrow \text{EXTRACT-MIN}(Q)$ 
6       $S \leftarrow S \cup \{u\}$ 
7      para cada vértice  $v \in \text{Adj}[u]$  faça
8          RELAX( $u, v, \omega$ )
9  devolva  $d, \pi$ 
```

Depende de como a fila de prioridade Q é implementada.

Complexidade do algoritmo de Dijkstra

- As linhas 1–3 correspondem a $|V|$ chamadas a **INSERT**.
- O laço da linha 4 é executado $O(V)$ vezes.
Total: $O(V)$ chamadas a **EXTRACT-MIN**.
- O laço das linhas 7–8 é executado $O(E)$ vezes no total.
Ao atualizar uma chave na linha 8 é feita uma *chamada implícita* a **DECREASE-KEY**.
Total: $O(E)$ chamadas a **DECREASE-KEY**.
- **Tempo total:**
 $O(V)$ **INSERT** + $O(V)$ **EXTRACT-MIN** +
 $O(E)$ **DECREASE-KEY**

Complexidade do algoritmo de Dijkstra

Tempo total

$O(V)$ INSERT + $O(V)$ EXTRACT-MIN +
 $O(E)$ DECREASE-KEY

- Implementando Q como um vetor (coloque $d[v]$ na posição v do vetor), INSERT e DECREASE-KEY gastam tempo $\Theta(1)$ e EXTRACT-MIN gasta tempo $O(V)$, resultando em um total de $O(V^2 + E) = O(V^2)$.
- Implementando a fila de prioridade Q como um min-heap, INSERT, EXTRACT-MIN e DECREASE-KEY gastam tempo $O(\lg V)$, resultando em um total de $O((V + E) \lg V)$.
- Usando heaps de Fibonacci (EXTRACT-MIN é $O(\lg V)$ e INSERT e DECREASE-KEY são $O(1)$) a complexidade cai para $O(V \lg V + E)$.

Arestas/ciclos de peso negativo

- O algoritmo de Dijkstra resolve o Problema dos Caminhos Mínimos quando (G, ω) **não** possui **arestas de peso negativo**.
- Quando (G, ω) possui **arestas de peso negativo**, o algoritmo de Dijkstra não funciona.
- Uma das dificuldades com arestas de peso negativo é a possível existência de **ciclos negativos**.

Ciclos negativos — uma dificuldade

- Pode-se mostrar que o Problema dos Caminhos Mínimos para instâncias com **ciclos negativos** é **NP-difícil**.
- Informalmente, se um problema pertence à classe dos **problemas NP-difíceis** então acredita-se que **não** existe algoritmo eficiente para resolvê-lo.
- Este é o principal motivo do porquê nos restringimos ao Problema de Caminhos Mínimos **sem ciclos negativos**.

Revisão: inicialização

INITIALIZE-SINGLE-SOURCE(G, s)

1 **para cada** vértice $v \in V[G]$ **faça**

2 $d[v] \leftarrow \infty$

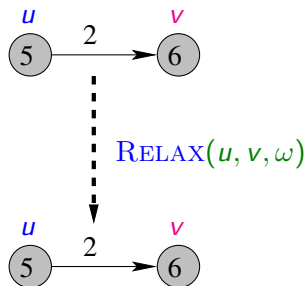
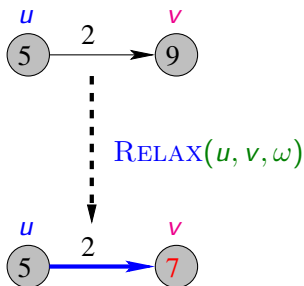
3 $\pi[v] \leftarrow \text{NIL}$

4 $d[s] \leftarrow 0$

- O valor $d[v]$ é uma **estimativa superior** de $\text{dist}(s, v)$, o peso de um caminho mínimo de s a v .
- Se $d[v] < \infty$, então algoritmo encontrou até aquele momento um caminho de s a v com peso $d[v]$.
- O caminho de s a v pode ser recuperado por meio dos predecessores $\pi[]$, se não houver **ciclos negativos**.

Revisão: relaxação

Tenta melhorar a estimativa $d[v]$ examinando (u, v) .



$\text{RELAX}(u, v, \omega)$

```
1  se  $d[v] > d[u] + \omega(u, v)$ 
2    então  $d[v] \leftarrow d[u] + \omega(u, v)$ 
3           $\pi[v] \leftarrow u$ 
```

Revisão: algoritmos baseados em relaxação

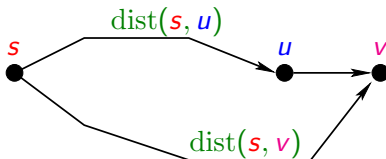
As propriedades que veremos valem para qualquer “algoritmo” que satisfaz as restrições abaixo.

- A inicialização é feita por $\text{INITIALIZE-SINGLE-SOURCE}(G, s)$.
- Um valor $d[v]$ (e $\pi[v]$) só pode ser modificado através de uma chamada de $\text{RELAX}(u, v, \omega)$ para alguma aresta (u, v) .

Revisão: algoritmos baseados em relaxação

Lema 24.10, CLRS Para toda aresta (u, v) temos que

$$\text{dist}(s, v) \leq \text{dist}(s, u) + \omega(u, v).$$



Lema 24.15, CLRS Seja $P = (v_0 = s, v_1, \dots, v_k)$ um caminho mínimo de $s = v_0$ a v_k e suponha que as arestas $(v_0, v_1), \dots, (v_{k-1}, v_k)$ são relaxadas nesta ordem.

Então após as relaxações, temos $d[v_k] = \text{dist}(s, v_k)$ e $d[v_k]$ nunca mais muda.

Revisão: algoritmos baseados em relaxação

Seja G_π com conjunto de vértices $V_\pi = \{s\} \cup \{v \in V : \pi[v] \neq \text{NIL}\}$ e conjunto de arestas $E_\pi = \{(\pi[v], v) : v \in V, \pi[v] \neq \text{NIL}\}$.

Lema 24.16, CLRS Suponha que (G, ω) **não** contém **ciclos negativos** atingíveis por s . Então em qualquer iteração após a chamada **INITIALIZE-SINGLE-SOURCE**, o subgrafo G_π é uma árvore de raiz s . ■

Lema 24.17, CLRS Suponha que (G, ω) **não** contém **ciclos negativos** atingíveis por s . Suponha que sejam feitas uma chamada a **INITIALIZE-SINGLE-SOURCE** e uma sequência de chamadas a **RELAX** que resulta em $d[v] = \text{dist}(s, v)$ para todo $v \in V$. Então G_π é uma **Árvore de Caminhos Mínimos**. ■

Ideia do algoritmo de Bellman-Ford

- Descreveremos a seguir o algoritmo de Bellman-Ford que resolve o **Problema dos Caminhos Mínimos** em grafos que podem ter arestas de peso negativo, mas não contém ciclos negativos.
- Na verdade, o algoritmo consegue resolver problema mesmo que tenham ciclos negativos, mas não sejam atingíveis pela origem **s**.
- Ele também consegue detectar se existe um ciclo negativo atingível por **s**.

Ideia do algoritmo de Bellman-Ford

- Na iteração $i = 1$ executamos RELAX para todas as arestas. Isto garante que a primeira aresta de qualquer caminho mínimo será relaxada.
- Repetimos este passo para as iterações $i = 2, 3, \dots, |V| - 1$. Por que $|V| - 1$?
Porque um caminho (simples) tem no máximo $|V| - 1$ arestas. Assim, após essas $|V| - 1$ iterações, garantidamente, todas as arestas de um caminho mínimo foram relaxadas na ordem desejada.
- É preciso fazer mais uma iteração de relaxar todas as arestas para verificar se o grafo contém ciclos negativos.
Se houver, não há garantia de que os valores obtidos nas $|V| - 1$ primeiras iterações estão corretas.

O algoritmo de Bellman-Ford

O algoritmo de Bellman-Ford recebe um grafo orientado (G, ω) (possivelmente com arestas de peso negativo) e um vértice origem s de G .

Ele devolve um valor booleano

- FALSE se existe um ciclo negativo atingível a partir de s , ou
- TRUE e neste caso devolve também uma **Árvore de Caminhos Mínimos** com raiz s .

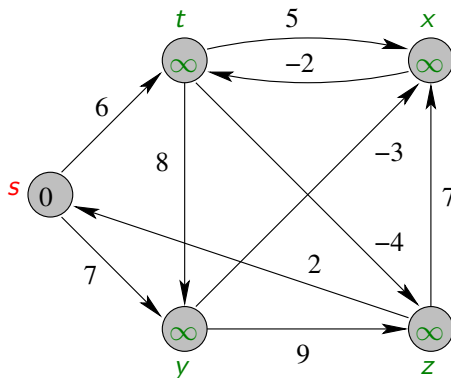
O algoritmo de Bellman-Ford

BELLMAN-FORD(G, ω, s)

```
1  INITIALIZE-SINGLE-SOURCE( $G, s$ )
2  para  $i \leftarrow 1$  até  $|V[G]| - 1$  faça
3      para cada aresta  $(u, v) \in E[G]$  faça
4          RELAX( $u, v, \omega$ )
5  para cada aresta  $(u, v) \in E[G]$  faça
6      se  $d[v] > d[u] + \omega(u, v)$ 
7          então devolva FALSE
8  devolva TRUE,  $d, \pi$ 
```

Complexidade de tempo: $O(VE)$

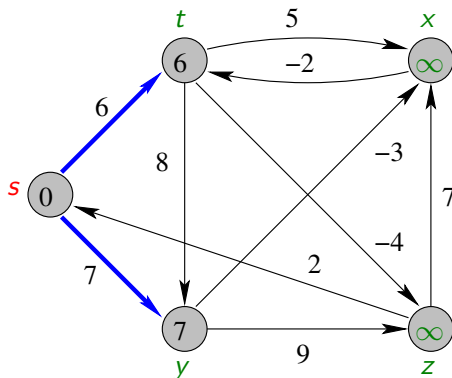
Exemplo (CLRS)



Ordem:

$(t, x), (t, y), (t, z), (x, t), (y, x), (y, z), (z, x), (z, s), (s, t), (s, y)$.

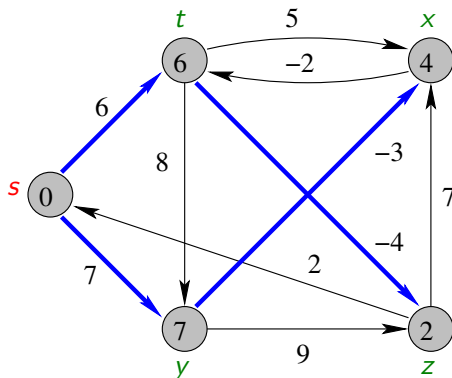
Exemplo (CLRS)



Ordem:

$(t, x), (t, y), (t, z), (x, t), (y, x), (y, z), (z, x), (z, s), (s, t), (s, y).$

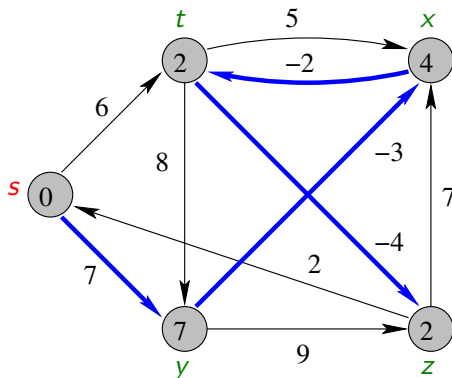
Exemplo (CLRS)



Ordem:

$(t, x), (t, y), (t, z), (x, t), (y, x), (y, z), (z, x), (z, s), (s, t), (s, y).$

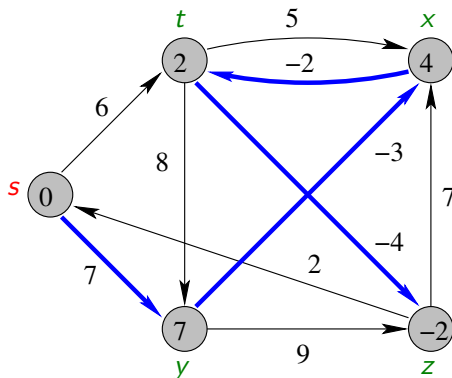
Exemplo (CLRS)



Ordem:

$(t, x), (t, y), (t, z), (x, t), (y, x), (y, z), (z, x), (z, s), (s, t), (s, y).$

Exemplo (CLRS)

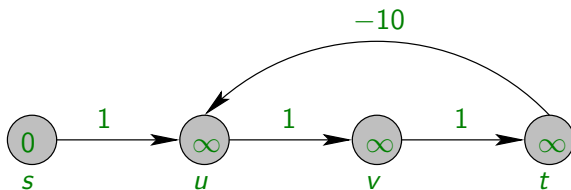


Ordem:

$(t, x), (t, y), (t, z), (x, t), (y, x), (y, z), (z, x), (z, s), (s, t), (s, y).$

Exemplo com ciclo negativo

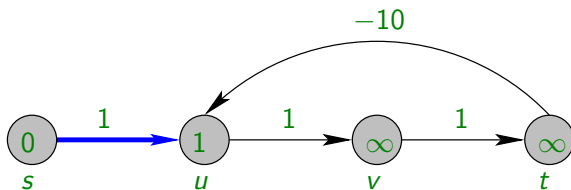
Inicialização.



Ordem: $(t, u), (v, t), (u, v), (s, u)$.

Exemplo com ciclo negativo

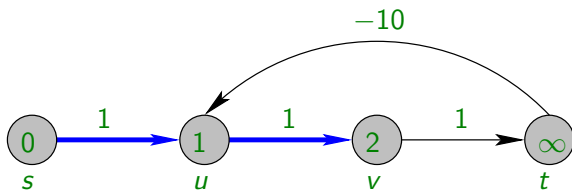
Final da iteração 1.



Ordem: $(t, u), (v, t), (u, v), (s, u)$.

Exemplo com ciclo negativo

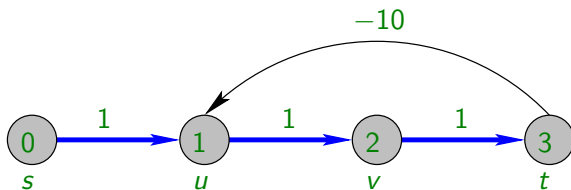
Final da iteração 2.



Ordem: $(t, u), (v, t), (u, v), (s, u)$.

Exemplo com ciclo negativo

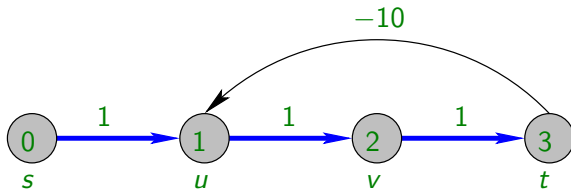
Final da iteração 3.



Ordem: $(t, u), (v, t), (u, v), (s, u)$.

Exemplo com ciclo negativo

Iteração 4: $1 = d[u] > d[t] + \omega(t, u) = 3 - 10 = -7$



Ordem: $(t, u), (v, t), (u, v), (s, u)$.

Teorema 24.4 (CLRS).

Se (G, ω) não contém ciclos negativos atingíveis por s , então no final

- o algoritmo devolve TRUE,
- $d[v] = \text{dist}(s, v)$ para $v \in V$ e
- $\pi[]$ define uma Árvore de Caminhos Mínimos.

Se (G, ω) contém ciclos negativos atingíveis por s , então no final o algoritmo devolve FALSE.

Correção do algoritmo Bellman-Ford

Primeiramente, vamos supor que o grafo não possui **ciclos negativos** atingíveis por **s**.

Relembrando...

Lema 24.15, CLRS Seja $P = (v_0 = s, v_1, \dots, v_k)$ um caminho mínimo de $s = v_0$ a v_k e suponha que as arestas $(v_0, v_1), \dots, (v_{k-1}, v_k)$ são **relaxadas nesta ordem**.

Então após as relaxações, temos $d[v_k] = \text{dist}(s, v_k)$ e $d[v_k]$ nunca mais muda.

Correção do algoritmo Bellman-Ford

Seja v um vértice atingível por s e seja

$$P = (v_0 = s, v_1, \dots, v_k = v)$$

um caminho mínimo de s a v .

Note que P tem no máximo $|V| - 1$ arestas. Cada uma das $|V| - 1$ iterações do laço das linhas 2–4 relaxa todas as $|E|$ arestas.

Na iteração i a aresta (v_{i-1}, v_i) é relaxada.

Logo, pelo Lema 24.16, $d[v] = d[v_k] = \text{dist}(s, v)$.

Correção do algoritmo Bellman-Ford

Se v é um vértice não atingível por s então $d[v] = \infty$, pois $d[v]$ foi inicializado com este valor e ao longo do algoritmo vale que $d[v] \geq \text{dist}(s, v) = \infty$.

Assim, no final do algoritmo $d[v] = \text{dist}(s, v)$ para $v \in V$.

Pelo Lema 24.17, G_π é uma Árvore de Caminhos Mínimos com raiz s de (G, ω) .

Correção do algoritmo Bellman-Ford

Agora falta mostrar que **BELLMAN-FORD** devolve TRUE.

Seja (u, v) uma aresta de G . Então

$$\begin{aligned}d[v] &= \text{dist}(s, v) \\&\leq \text{dist}(s, u) + \omega(u, v) \quad (\text{Lema 24.10}) \\&= d[u] + \omega(u, v).\end{aligned}$$

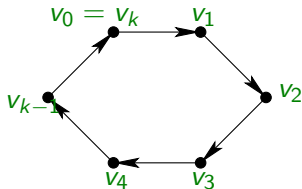
Assim, nenhum dos testes da linha 6 faz com que o algoritmo devolva FALSE. Logo, ele devolve TRUE.

Correção do algoritmo Bellman-Ford

Suponha que (G, ω) contém um **ciclo negativo** atingível por s .

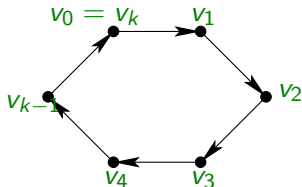
Seja $C = (v_0, v_1, \dots, v_k = v_0)$ um tal ciclo.

Então $\sum_{i=1}^k \omega(v_{i-1}, v_i) < 0$.



Correção do algoritmo Bellman-Ford

Suponha por contradição que o algoritmo devolve TRUE.
Então $d[v_i] \leq d[v_{i-1}] + \omega(v_{i-1}, v_i)$ para $i = 1, 2, \dots, k$.



Correção do algoritmo Bellman-Ford

Somando as desigualdades ao longo do ciclo temos

$$\begin{aligned}\sum_{i=1}^k d[v_i] &\leq \sum_{i=1}^k (d[v_{i-1}] + \omega(v_{i-1}, v_i)) \\ &= \sum_{i=1}^k d[v_{i-1}] + \sum_{i=1}^k \omega(v_{i-1}, v_i).\end{aligned}$$

Como $v_0 = v_k$, temos que $\sum_{i=1}^k d[v_i] = \sum_{i=1}^k d[v_{i-1}]$.

Mas então $\sum_{i=1}^k \omega(v_{i-1}, v_i) \geq 0$ o que contraria o fato do ciclo ser negativo.

Isto conclui a prova de correção.

Redução para PCM sem pesos negativos

- Às vezes é possível transformar uma instância (G, ω) com **arestas de peso negativo** (mas **sem ciclos negativos**) em uma instância equivalente (G, ω') **sem arestas de peso negativo**.
- Suponha que você conhece um valor $p[v]$ para todo $v \in V$ que satisfaz a seguinte propriedade:

$$p[v] \leq p[u] + \omega(u, v) \quad \text{para toda aresta } (u, v) \in E.$$

- Por exemplo, a função $p[v] := \text{dist}(s, v)$ satisfaz esta propriedade! Mas suporemos que não é este o caso, pois o que queremos determinar é exatamente $\text{dist}(s, v)$ para $v \in V$.

Redução para PCM sem pesos negativos

- Considere a instância (G, ω') onde

$$\omega'(u, v) = \omega(u, v) + p[u] - p[v] \quad \text{para toda aresta } (u, v) \in E.$$

Note que $\omega'(u, v) \geq 0$ para toda aresta $(u, v) \in E$.

- Seja $P = (s = v_0, v_1, \dots, v_{k-1}, v_k = t)$ um caminho de s a t em G .
Então

$$\begin{aligned}\omega'(P) &= \sum_{i=1}^k \omega'(v_{i-1}, v_i) \\ &= \sum_{i=1}^k \left(\omega(v_{i-1}, v_i) + p[v_{i-1}] - p[v_i] \right) \\ &= \sum_{i=1}^k \omega(v_{i-1}, v_i) + \sum_{i=1}^k (p[v_{i-1}] - p[v_i]) \\ &= \omega(P) + p[v_0] - p[v_k] = \omega(P) + p[s] - p[t].\end{aligned}$$

Redução para PCM sem pesos negativos

- Considere a instância (G, ω') onde

$$\omega'(u, v) = \omega(u, v) + p[u] - p[v] \quad \text{para toda aresta } (u, v) \in E.$$

- Seja $P = (s = v_0, v_1, \dots, v_{k-1}, v_k = t)$ um caminho de s a t em G .
- Então $\omega'(P) = \omega(P) + p[s] - p[t]$.
- Como p está fixo, encontrar um caminho mínimo de s a t em (G, ω) é equivalente a encontrar um caminho mínimo de s a t em (G, ω') .

Redução para PCM sem pesos negativos

- O único problema com esta ideia é que para encontrar uma tal função p , aparentemente é preciso resolver um PCM com **arestas de peso negativo**, o que **invalida** a ideia de modo geral.
- Entretanto, há situações em que tal função p é conhecida e neste caso pode-se usar o algoritmo de Dijkstra que é mais eficiente que o o algoritmo de Bellman-Ford que resolve o PCM com arestas de peso negativo.
- Uma função p como descrita é chamada **potencial** em alguns contextos. Veremos como usar o algoritmo de Bellman-Ford para encontrar uma função potencial.

Aplicação: Sistemas de restrições de diferenças

Considere o seguinte sistema de desigualdades lineares:

$$x_1 - x_2 \leq 0$$

$$x_1 - x_5 \leq -1$$

$$x_2 - x_5 \leq 1$$

$$x_3 - x_1 \leq 5$$

$$x_4 - x_1 \leq 4$$

$$x_4 - x_3 \leq -1$$

$$x_5 - x_3 \leq -3$$

$$x_5 - x_4 \leq -3$$

Queremos encontrar valores x_1, x_2, \dots, x_n que satisfazem estas restrições de diferença.

Sistemas de restrições de diferenças

Sistemas de restrições de diferença tem várias aplicações.

$$\begin{array}{rcl} x_1 - x_2 & \leq & 0 \\ x_1 - x_5 & \leq & -1 \\ x_2 - x_5 & \leq & 1 \\ x_3 - x_1 & \leq & 5 \\ x_4 - x_1 & \leq & 4 \\ x_4 - x_3 & \leq & -1 \\ x_5 - x_3 & \leq & -3 \\ x_5 - x_4 & \leq & -3 \end{array}$$

Por exemplo, a incógnita x_i pode representar o instante do tempo que um evento i deve ocorrer. Uma restrição $x_j - x_i \leq b_k$ diz que uma certa quantidade de tempo b_k deve passar entre os eventos i e j . Um evento poderia ser a execução de uma certa tarefa durante a fabricação de um produto.

Aplicação: Sistemas de restrições de diferenças

Considere o seguinte sistema de desigualdades lineares:

$$x_1 - x_2 \leq 0$$

$$x_1 - x_5 \leq -1$$

$$x_2 - x_5 \leq 1$$

$$x_3 - x_1 \leq 5$$

$$x_4 - x_1 \leq 4$$

$$x_4 - x_3 \leq -1$$

$$x_5 - x_3 \leq -3$$

$$x_5 - x_4 \leq -3$$

Podemos resolver um sistema deste tipo para encontrar uma **função potencial** p de um grafo (G, ω) . Uma **função potencial** de (G, ω) deve satisfazer $p(v) - p(u) \leq \omega(u, v)$ para cada aresta (u, v) de G . Assim, temos uma desigualdade $x_v - x_u \leq \omega(u, v)$ para cada aresta (u, v) de G .

Sistemas de restrições de diferenças

Podemos reescrever as restrições matricialmente:

$$\begin{pmatrix} 1 & -1 & 0 & 0 & 0 \\ 1 & 0 & 0 & 0 & -1 \\ 0 & 1 & 0 & 0 & -1 \\ -1 & 0 & 1 & 0 & 0 \\ -1 & 0 & 0 & 1 & 0 \\ 0 & 0 & -1 & 1 & 0 \\ 0 & 0 & -1 & 0 & 1 \\ 0 & 0 & 0 & -1 & 1 \end{pmatrix} \begin{pmatrix} x_1 \\ x_2 \\ x_3 \\ x_4 \\ x_5 \end{pmatrix} \leq \begin{pmatrix} 0 \\ -1 \\ 1 \\ 5 \\ 4 \\ -1 \\ -3 \\ -3 \end{pmatrix}$$

Um **sistema de restrições de diferença** é um sistema da forma $Ax \leq b$ onde A é uma matriz com entradas $\{-1, 0, 1\}$ em que cada linha há exatamente um 1 e um -1 .

Sistemas de restrições de diferenças

Podemos reescrever as restrições matricialmente:

$$\begin{pmatrix} 1 & -1 & 0 & 0 & 0 \\ 1 & 0 & 0 & 0 & -1 \\ 0 & 1 & 0 & 0 & -1 \\ -1 & 0 & 1 & 0 & 0 \\ -1 & 0 & 0 & 1 & 0 \\ 0 & 0 & -1 & 1 & 0 \\ 0 & 0 & -1 & 0 & 1 \\ 0 & 0 & 0 & -1 & 1 \end{pmatrix} \begin{pmatrix} x_1 \\ x_2 \\ x_3 \\ x_4 \\ x_5 \end{pmatrix} \leq \begin{pmatrix} 0 \\ -1 \\ 1 \\ 5 \\ 4 \\ -1 \\ -3 \\ -3 \end{pmatrix}$$

Uma solução é $x = (-5, -3, 0, -1, -4)$.

Outra solução é $x' = (0, 2, 5, 4, 1)$.

Lema 24.8 (CLRS) Seja $x = (x_1, \dots, x_n)$ uma solução de um sistema $Ax \leq b$ de restrições de diferença. Seja d uma constante. Então

$$x + d = (x_1 + d, \dots, x_n + d)$$

também é uma solução de $Ax \leq b$.

Mostraremos a seguir como encontrar uma solução de um sistema $Ax \leq b$ de restrições de diferença resolvendo um **problema de caminhos mínimos**.

Grafo de restrições

A matriz A de dimensões $m \times n$ pode ser vista como a transposta de uma matriz de incidência de um grafo orientado (veja a lista de exercícios) com n vértices e m arestas.

Cada vértice v_i corresponde a uma variável x_i .

Cada aresta (v_i, v_j) corresponde a uma restrição $x_j - x_i \leq b_k$.

A este grafo acrescentamos um vértice origem v_0 .

Grafo de restrições

Formalmente, dado o sistema $Ax \leq b$ de restrições de diferença, construímos o grafo $G = (V, E)$ tal que

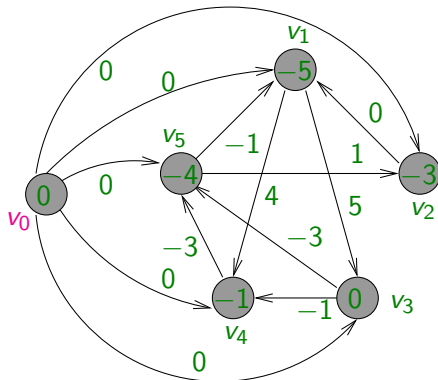
$$V = \{v_0, v_1, \dots, v_n\}$$

e

$$E = \{(v_i, v_j) : x_j - x_i \leq b_k \text{ é uma restrição}\} \\ \cup \{(v_0, v_1), (v_0, v_2), \dots, (v_0, v_n)\}.$$

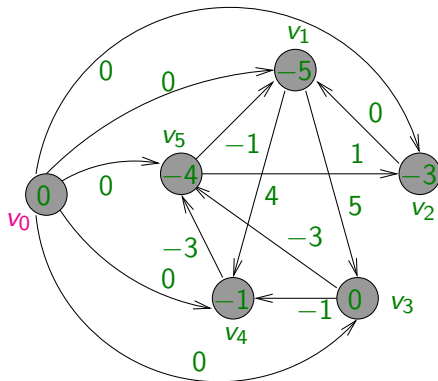
Para cada restrição $x_j - x_i \leq b_k$ temos uma aresta (v_i, v_j) com peso $\omega(v_i, v_j) = b_k$. O peso da aresta (v_0, v_i) é igual a zero para todo v_i .

Grafo de restrições



Uma restrição $x_j - x_i \leq b_k$ corresponde a uma aresta (v_i, v_j) com peso b_k .
Note que todo vértice é atingível a partir de v_0 .

Grafo de restrições



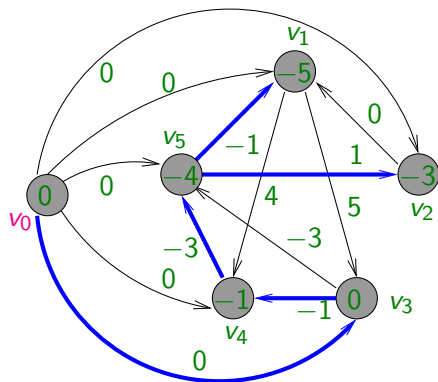
Uma restrição $x_j - x_i \leq b_k$ corresponde a uma aresta (v_i, v_j) com peso b_k .

Ideia. Note que se $x_i = \text{dist}(v_0, v_i)$ então:

$$x_j - x_i = \text{dist}(v_0, v_j) - \text{dist}(v_0, v_i) \leq \omega(v_i, v_j) = b_k$$

e x é uma solução do sistema de diferenças.

Grafo de restrições



Uma solução viável é $x = (-5, -3, -0, -1, -4)$.

Grafo de restrições e sistemas de diferenças

Teorema 24.9 (CLRS) Seja $Ax \leq b$ um sistema de restrições de diferença e seja $G = (V, E)$ o grafo de restrições associado.

Se G não contém ciclos negativos, então

$$x = (\text{dist}(v_0, v_1), \text{dist}(v_0, v_2), \dots, \text{dist}(v_0, v_n))$$

é uma solução viável do sistema.

Se G contém ciclos negativos, então o sistema não possui solução viável.

Grafo de restrições e sistemas de diferenças

Suponha que (G, ω) não contém ciclos negativos. Para ver que $x_i = \text{dist}(v_0, v_i)$ para $i = 1, 2, \dots, n$ é uma solução do sistemas de diferença lembre-se que $\text{dist}(v_0, v_j) \leq \text{dist}(v_0, v_i) + \omega(v_i, v_j)$ para toda aresta (v_i, v_j) .

Assim,

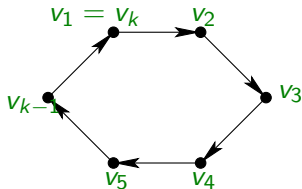
$$x_j - x_i = \text{dist}(v_0, v_j) - \text{dist}(v_0, v_i) \leq \omega(v_i, v_j) = b_k$$

e x é uma solução do sistema de diferenças.

Grafo de restrições e sistemas de diferenças

Suponha agora que (G, ω) contém um ciclo negativo C . Como a origem v_0 é uma fonte, ela não pertence a nenhum ciclo. Podemos supor sem perda de generalidade que:

$$C = (v_1, v_2, \dots, v_k = v_1).$$



Grafo de restrições e sistemas de diferenças

Podemos supor sem perda de generalidade que:

$$C = (v_1, v_2, \dots, v_k = v_1).$$

Suponha por contradição que existe uma solução viável x do sistema de diferenças. Então


$$x_2 - x_1 \leq \omega(v_1, v_2)$$

$$x_3 - x_2 \leq \omega(v_2, v_3)$$

$$\vdots$$

$$x_{k-1} - x_{k-2} \leq \omega(v_{k-2}, v_{k-1})$$

$$x_k - x_{k-1} \leq \omega(v_{k-1}, v_k).$$

Somando todas as desigualdades, obtemos $0 \leq \omega(C)$, o que é uma contradição. Logo, se (G, ω) contém um ciclo negativo, então o sistema não tem solução viável. 

Resolvendo um sistema de restrições de diferença

O Teorema 24.9 nos diz que podemos usar o algoritmo de Bellman-Ford (com origem v_0) para resolver um sistema de restrições de diferença!

Como todo vértice é atingível a partir de v_0 , se existir um ciclo negativo, este será detectado pelo algoritmo.

Se não existir ciclo negativo, então as distâncias computadas pelo algoritmo formam uma solução viável do sistema.

Se A é uma matriz $m \times n$, então o grafo de restrições G possui $n + 1$ vértices e $n + m$ arestas. Assim, usando o algoritmo de Bellman-Ford podemos encontrar uma solução em tempo $O((n + 1)(n + m)) = O(n^2 + nm)$.

Caminhos mínimos entre todos os pares

O problema agora é dado um grafo (G, ω) encontrar para todo par u, v de vértices um caminho mínimo de u a v .

Obviamente podemos executar $|V|$ vezes um algoritmo de Caminhos Mínimos com Mesma Origem.

- Se (G, ω) não possui arestas negativas, então podemos usar o algoritmo de Dijkstra implementando a fila de prioridade como
 - um vetor: $|V|.O(V^2) = O(V^3)$ ou
 - min-heap binário: $|V|.O(E \lg V) = O(VE \lg V)$ ou
 - heap de Fibonacci: $|V|.O(V \lg V + E) = O(V^2 \lg V + VE)$.
- Se (G, ω) possui arestas negativas podemos usar o algoritmo de Bellman-Ford: $|V|.O(VE) = O(V^2E)$.

O algoritmo de Floyd-Warshall

Veremos agora um método direto para resolver o problema que é assintoticamente melhor se G é denso.

O algoritmo de Floyd-Warshall baseia-se em programação dinâmica e resolve o problema em tempo $O(V^3)$.

O grafo (G, ω) pode ter arestas negativas, mas suporemos que **não** contém ciclos negativos.

Adotaremos a convenção de que se (i, j) não é uma aresta de G então $\omega(i, j) = \infty$.

Estrutura de um caminho mínimo

Seja $P = (v_1, v_2, \dots, v_\ell)$ um caminho.

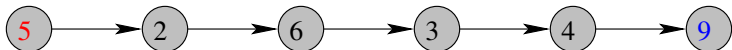
Um vértice **interno** de P é qualquer vértice de P distinto de v_1 e v_ℓ , ou seja, em $\{v_2, \dots, v_{\ell-1}\}$.

Para simplificar, suponha que $V = \{1, 2, \dots, n\}$.

Estrutura de um caminho mínimo

Sejam i e j dois vértices de G . Considere todos os caminhos de i a j cujos vértices internos pertencem a $\{1, \dots, k\}$.

Exemplo: $i = 5$, $j = 9$ e $k = 7$.



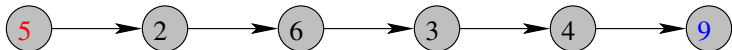
Seja P um **caminho mínimo** de i a j com esta forma.

Estrutura de um caminho mínimo

O algoritmo de Floyd-Warshall explora a relação entre P e certos caminhos mínimos com vértices internos em $\{1, \dots, k-1\}$.

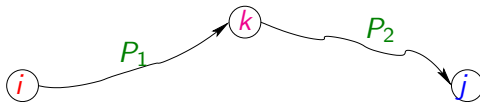
Caso 1: Se k não é um vértice interno de P então P é um caminho mínimo de i a j com vértices internos em $\{1, \dots, k-1\}$.

Exemplo: $i = 5$, $j = 9$ e $k = 7$.



Estrutura de um caminho mínimo

Caso 2: Se k é um vértice interno de P então P pode ser dividido em dois caminhos P_1 (com início em i e fim em k) e P_2 (com início em k e fim em j).



- P_1 é um caminho mínimo de i a k com vértices internos em $\{1, \dots, k-1\}$
- P_2 é um caminho mínimo de k a j com vértices internos em $\{1, \dots, k-1\}$.

Recorrência para caminhos mínimos

Seja $d_{ij}^{(k)}$ o peso de um caminho mínimo de i a j com vértices internos em $\{1, 2, \dots, k\}$.

Quando $k = 0$ então $d_{ij}^{(0)} = \omega(i, j)$.

Temos a seguinte recorrência:

$$d_{ij}^{(k)} = \begin{cases} \omega(i, j) & \text{se } k = 0, \\ \min(d_{ij}^{(k-1)}, d_{ik}^{(k-1)} + d_{kj}^{(k-1)}) & \text{se } k \geq 1. \end{cases}$$

Note que $d_{ij}^{(n)} = \text{dist}(i, j)$.

Podemos calcular as matrizes $D^{(k)} = (d_{ij}^{(k)})$ para $k = 1, 2, \dots, n$.

A resposta do problema é $D^{(n)}$.

Algoritmo de Floyd-Warshall

A entrada do algoritmo é a matriz $W = (\omega(i, j))$ com $n = |V|$ linhas e colunas.

A saída é a matriz $D^{(n)}$.

FLOYD-WARSHALL(W, n)

```
1   $D^{(0)} \leftarrow W$ 
2  para  $k \leftarrow 1$  até  $n$  faça
3      para  $i \leftarrow 1$  até  $n$  faça
4          para  $j \leftarrow 1$  até  $n$  faça
5               $d_{ij}^{(k)} \leftarrow \min(d_{ij}^{(k-1)}, d_{ik}^{(k-1)} + d_{kj}^{(k-1)})$ 
6  devolva  $D^{(n)}$ 
```

Complexidade: $O(V^3)$

Como encontrar os caminhos?

O algoritmo devolve também uma matriz $\Pi = (\pi_{ij})$ tal que (a) $\pi_{ij} = \text{NIL}$ se $i = j$ ou se não existe caminho de i a j , **ou** (b) π_{ij} é o predecessor de j em algum caminho mínimo a de i a j , caso contrário.

Podemos computar os predecessores ao mesmo tempo que o algoritmo calcula as matrizes $D^{(k)}$. Determinamos uma sequência de matrizes $\Pi^{(0)}, \Pi^{(1)}, \dots, \Pi^{(n)}$ e $\pi_{ij}^{(k)}$ é o predecessor de j em um caminho mínimo de i a j com vértices internos em $\{1, 2, \dots, k\}$.

Quando $k = 0$ temos

$$\pi_{ij}^{(0)} = \begin{cases} \text{NIL} & \text{se } i = j \text{ ou } \omega(i, j) = \infty, \\ i & \text{se } i \neq j \text{ e } \omega(i, j) < \infty. \end{cases}$$

Como encontrar os caminhos?

Para $k \geq 1$ procedemos da seguinte forma. Considere um caminho mínimo P de i a j com vértices internos em $\{1, 2, \dots, k\}$.

Se k não aparece em P então tomamos como $\pi_{ij}^{(k)}$ o predecessor de j em um caminho mínimo de i a j com vértices internos em $\{1, 2, \dots, k-1\}$, ou seja, $\pi_{ij}^{(k-1)}$.

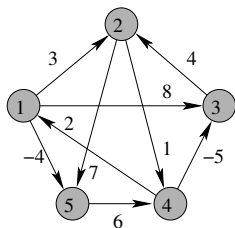
Caso contrário, tomamos como $\pi_{ij}^{(k)}$ o predecessor de j em um caminho mínimo de k a j com vértices internos em $\{1, 2, \dots, k-1\}$, ou seja, $\pi_{kj}^{(k-1)}$.

Formalmente,

$$\pi_{ij}^{(k)} = \begin{cases} \pi_{ij}^{(k-1)} & \text{se } d_{ij}^{(k-1)} \leq d_{ik}^{(k-1)} + d_{kj}^{(k-1)}, \\ \pi_{kj}^{(k-1)} & \text{se } d_{ij}^{(k-1)} > d_{ik}^{(k-1)} + d_{kj}^{(k-1)}. \end{cases}$$

Exercício. Incorpore esta parte no algoritmo!

Exemplo



$$d_{ij}^{(k)} = \min(d_{ij}^{(k-1)}, d_{ik}^{(k-1)} + d_{kj}^{(k-1)})$$

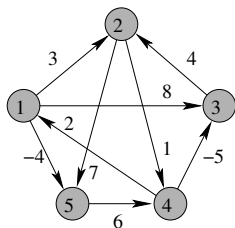
$$D^{(0)} = \begin{pmatrix} 0 & 3 & 8 & \infty & -4 \\ \infty & 0 & \infty & 1 & 7 \\ \infty & 4 & 0 & \infty & \infty \\ 2 & \infty & -5 & 0 & \infty \\ \infty & \infty & \infty & 6 & 0 \end{pmatrix}$$

$$\Pi^{(0)} = \begin{pmatrix} N & 1 & 1 & N & 1 \\ N & N & N & 2 & 2 \\ N & 3 & N & N & N \\ 4 & N & 4 & N & N \\ N & N & N & 5 & N \end{pmatrix}$$

$$D^{(1)} = \begin{pmatrix} 0 & 3 & 8 & \infty & -4 \\ \infty & 0 & \infty & 1 & 7 \\ \infty & 4 & 0 & \infty & \infty \\ 2 & \mathbf{5} & -5 & 0 & \mathbf{-2} \\ \infty & \infty & \infty & 6 & 0 \end{pmatrix}$$

$$\Pi^{(1)} = \begin{pmatrix} N & 1 & 1 & N & 1 \\ N & N & N & 2 & 2 \\ N & 3 & N & N & N \\ 4 & \mathbf{1} & 4 & N & \mathbf{1} \\ N & N & N & 5 & N \end{pmatrix}$$

Exemplo

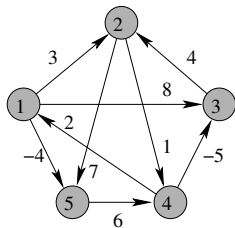


$$d_{ij}^{(k)} = \min(d_{ij}^{(k-1)}, d_{ik}^{(k-1)} + d_{kj}^{(k-1)})$$

$$D^{(1)} = \begin{pmatrix} 0 & 3 & 8 & \infty & -4 \\ \infty & 0 & \infty & 1 & 7 \\ \infty & 4 & 0 & \infty & \infty \\ 2 & 5 & -5 & 0 & -2 \\ \infty & \infty & \infty & 6 & 0 \end{pmatrix} \quad \Pi^{(1)} = \begin{pmatrix} N & 1 & 1 & N & 1 \\ N & N & N & 2 & 2 \\ N & 3 & N & N & N \\ 4 & 1 & 4 & N & 1 \\ N & N & N & 5 & N \end{pmatrix}$$

$$D^{(2)} = \begin{pmatrix} 0 & 3 & 8 & 4 & -4 \\ \infty & 0 & \infty & 1 & 7 \\ \infty & 4 & 0 & 5 & 11 \\ 2 & 5 & -5 & 0 & -2 \\ \infty & \infty & \infty & 6 & 0 \end{pmatrix} \quad \Pi^{(2)} = \begin{pmatrix} N & 1 & 1 & 2 & 1 \\ N & N & N & 2 & 2 \\ N & 3 & N & 2 & 2 \\ 4 & 1 & 4 & N & 1 \\ N & N & N & 5 & N \end{pmatrix}$$

Exemplo



$$d_{ij}^{(k)} = \min(d_{ij}^{(k-1)}, d_{ik}^{(k-1)} + d_{kj}^{(k-1)})$$

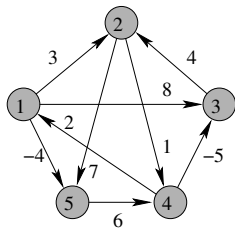
$$D^{(2)} = \begin{pmatrix} 0 & 3 & 8 & 4 & -4 \\ \infty & 0 & \infty & 1 & 7 \\ \infty & 4 & 0 & 5 & 11 \\ 2 & 5 & -5 & 0 & -2 \\ \infty & \infty & \infty & 6 & 0 \end{pmatrix}$$

$$\Pi^{(2)} = \begin{pmatrix} N & 1 & 1 & 2 & 1 \\ N & N & N & 2 & 2 \\ N & 3 & N & 2 & 2 \\ 4 & 1 & 4 & N & 1 \\ N & N & N & 5 & N \end{pmatrix}$$

$$D^{(3)} = \begin{pmatrix} 0 & 3 & 8 & 4 & -4 \\ \infty & 0 & \infty & 1 & 7 \\ \infty & 4 & 0 & 5 & 11 \\ 2 & -1 & -5 & 0 & -2 \\ \infty & \infty & \infty & 6 & 0 \end{pmatrix}$$

$$\Pi^{(3)} = \begin{pmatrix} N & 1 & 1 & 2 & 1 \\ N & N & N & 2 & 2 \\ N & 3 & N & 2 & 2 \\ 4 & 3 & 4 & N & 1 \\ N & N & N & 5 & N \end{pmatrix}$$

Exemplo



$$d_{ij}^{(k)} = \min(d_{ij}^{(k-1)}, d_{ik}^{(k-1)} + d_{kj}^{(k-1)})$$

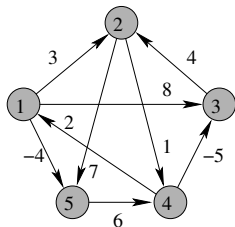
$$D^{(3)} = \begin{pmatrix} 0 & 3 & 8 & 4 & -4 \\ \infty & 0 & \infty & 1 & 7 \\ \infty & 4 & 0 & 5 & 11 \\ 2 & -1 & -5 & 0 & -2 \\ \infty & \infty & \infty & 6 & 0 \end{pmatrix}$$

$$\Pi^{(3)} = \begin{pmatrix} N & 1 & 1 & 2 & 1 \\ N & N & N & 2 & 2 \\ N & 3 & N & 2 & 2 \\ 4 & 3 & 4 & N & 1 \\ N & N & N & 5 & N \end{pmatrix}$$

$$D^{(4)} = \begin{pmatrix} 0 & 3 & -1 & 4 & -4 \\ 3 & 0 & -4 & 1 & -1 \\ 7 & 4 & 0 & 5 & 3 \\ 2 & -1 & -5 & 0 & -2 \\ 8 & 5 & 1 & 6 & 0 \end{pmatrix}$$

$$\Pi^{(4)} = \begin{pmatrix} N & 1 & 4 & 2 & 1 \\ 4 & N & 4 & 2 & 1 \\ 4 & 3 & N & 2 & 1 \\ 4 & 3 & 4 & N & 1 \\ 4 & 3 & 4 & 5 & N \end{pmatrix}$$

Exemplo



$$d_{ij}^{(k)} = \min(d_{ij}^{(k-1)}, d_{ik}^{(k-1)} + d_{kj}^{(k-1)})$$

$$D^{(4)} = \begin{pmatrix} 0 & 3 & -1 & 4 & -4 \\ 3 & 0 & -4 & 1 & -1 \\ 7 & 4 & 0 & 5 & 3 \\ 2 & -1 & -5 & 0 & -2 \\ 8 & 5 & 1 & 6 & 0 \end{pmatrix}$$

$$\Pi^{(4)} = \begin{pmatrix} N & 1 & 4 & 2 & 1 \\ 4 & N & 4 & 2 & 1 \\ 4 & 3 & N & 2 & 1 \\ 4 & 3 & 4 & N & 1 \\ 4 & 3 & 4 & 5 & N \end{pmatrix}$$

$$D^{(5)} = \begin{pmatrix} 0 & \mathbf{1} & \mathbf{-3} & \mathbf{2} & -4 \\ 3 & 0 & -4 & 1 & -1 \\ 7 & 4 & 0 & 5 & 3 \\ 2 & -1 & -5 & 0 & -2 \\ 8 & 5 & 1 & 6 & 0 \end{pmatrix}$$

$$\Pi^{(5)} = \begin{pmatrix} N & \mathbf{3} & 4 & \mathbf{5} & 1 \\ 4 & N & 4 & 2 & 1 \\ 4 & 3 & N & 2 & 1 \\ 4 & 3 & 4 & N & 1 \\ 4 & 3 & 4 & 5 & N \end{pmatrix}$$

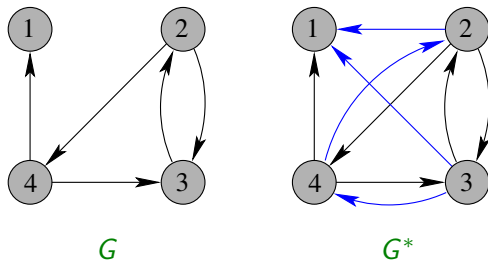
Fecho transitivo de grafos orientados

Seja $G = (V, E)$ um grafo orientado com $V = \{1, 2, \dots, n\}$.

Suponha que para cada par $i, j \in V$, queremos determinar se existe um caminho de i a j em G .

O **fecho transitivo** de $G = (V, E)$ é o grafo $G^* = (V, E^*)$ onde

$$E^* = \{(i, j) : \text{existe um caminho de } i \text{ a } j \text{ em } G\}.$$



Fecho transitivo de grafos orientados

Um modo de determinar o fecho transitivo de um grafo $G = (V, E)$ em tempo $\Theta(V^3) = \Theta(n^3)$ é atribuir peso 1 a cada aresta de E e executar FLOYD-WARSHALL. Se $d_{ij} < n$ então existe um caminho de i a j . Caso contrário, não existe tal caminho.

Há outra forma de fazer isto com mesma complexidade assintótica, mas que pode economizar tempo e espaço na prática.

A ideia é adaptar o algoritmo de Floyd-Warshall substituindo as operações aritméticas \min e $+$ pelas operações lógicas \vee (OR lógico) e \wedge (AND lógico).

Fecho transitivo de grafos orientados

Para i, j, k em $\{1, 2, \dots, n\}$, seja $t_{i,j}^{(k)}$ o valor lógico da expressão “existe um caminho de i a j em G com vértices internos em $\{1, 2, \dots, k\}$ ”.

Assim, $t_{i,j}^{(k)} = 1$ se:

- 1 existe um caminho de i a j em G com vértices internos em $\{1, 2, \dots, k-1\}$, ou seja, $t_{i,j}^{(k-1)} = 1$, ou
- 2 existem um caminho de i a k em G com vértices internos em $\{1, 2, \dots, k-1\}$ e um caminho de k a j em G com vértices internos em $\{1, 2, \dots, k-1\}$, ou seja, $t_{i,k}^{(k-1)} \wedge t_{k,j}^{(k-1)} = 1$.

Fecho transitivo de grafos orientados

Para i, j, k em $\{1, 2, \dots, n\}$, seja $t_{ij}^{(k)}$ o valor lógico da expressão “existe um caminho de i a j em G com vértices internos em $\{1, 2, \dots, k\}$ ”.

Portanto,

$$t_{ij}^{(0)} = \begin{cases} 0 & \text{se } i \neq j \text{ e } (i, j) \notin E, \\ 1 & \text{se } i = j \text{ ou } (i, j) \in E. \end{cases}$$

e para $k \geq 1$,

$$t_{ij}^{(k)} = t_{ij}^{(k-1)} \vee (t_{ik}^{(k-1)} \wedge t_{kj}^{(k-1)}).$$

Assim, (i, j) é uma aresta do fecho transitivo G^* se e somente se $t_{ij}^{(n)} = 1$.

Como no Floyd-Warshall, calculamos as matrizes $T^{(k)} = (t_{ij}^{(k)})$.

Algoritmo de Fecho Transitivo

A entrada do algoritmo é uma matriz de adjacência A com $n = |V|$ linhas e colunas.

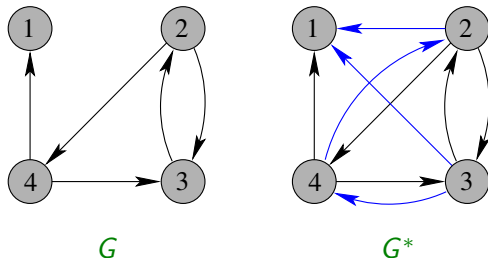
A saída é a matriz $T^{(n)}$.

TRANSITIVE-CLOSURE(A, n)

```
1   $T^{(0)} \leftarrow A + I_n$ 
2  para  $k \leftarrow 1$  até  $n$  faça
3      para  $i \leftarrow 1$  até  $n$  faça
4          para  $j \leftarrow 1$  até  $n$  faça
5               $t_{ij}^{(k)} \leftarrow t_{ij}^{(k-1)} \vee (t_{ik}^{(k-1)} \wedge t_{kj}^{(k-1)})$ 
6  devolva  $T^{(n)}$ 
```

Complexidade: $O(V^3)$

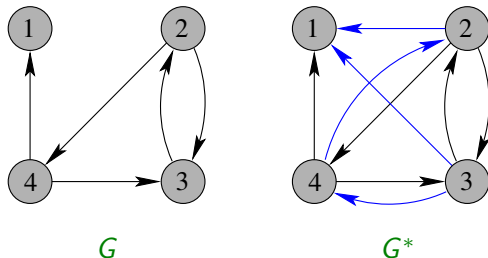
Exemplo



$$t_{ij}^{(k)} = t_{ij}^{(k-1)} \vee (t_{ik}^{(k-1)} \wedge t_{kj}^{(k-1)}).$$

$$T^{(0)} = \begin{pmatrix} 1 & 0 & 0 & 0 \\ 0 & 1 & 1 & 1 \\ 0 & 1 & 1 & 0 \\ 1 & 0 & 1 & 1 \end{pmatrix} \quad T^{(1)} = \begin{pmatrix} 1 & 0 & 0 & 0 \\ 0 & 1 & 1 & 1 \\ 0 & 1 & 1 & 0 \\ 1 & 0 & 1 & 1 \end{pmatrix}$$

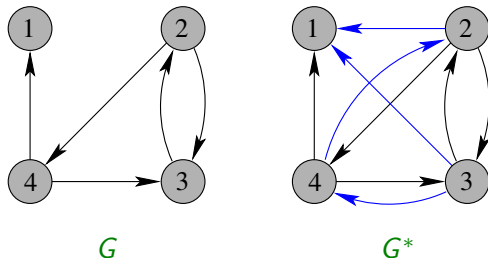
Exemplo



$$t_{ij}^{(k)} = t_{ij}^{(k-1)} \vee (t_{ik}^{(k-1)} \wedge t_{kj}^{(k-1)}).$$

$$T^{(1)} = \begin{pmatrix} 1 & 0 & 0 & 0 \\ 0 & 1 & 1 & 1 \\ 0 & 1 & 1 & 0 \\ 1 & 0 & 1 & 1 \end{pmatrix} \quad T^{(2)} = \begin{pmatrix} 1 & 0 & 0 & 0 \\ 0 & 1 & 1 & 1 \\ 0 & 1 & 1 & \mathbf{1} \\ 1 & 0 & 1 & 1 \end{pmatrix}$$

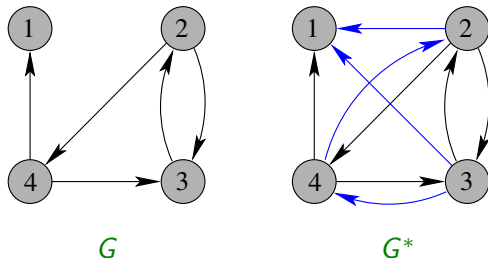
Exemplo



$$t_{ij}^{(k)} = t_{ij}^{(k-1)} \vee (t_{ik}^{(k-1)} \wedge t_{kj}^{(k-1)}).$$

$$T^{(2)} = \begin{pmatrix} 1 & 0 & 0 & 0 \\ 0 & 1 & 1 & 1 \\ 0 & 1 & 1 & 1 \\ 1 & 0 & 1 & 1 \end{pmatrix} \quad T^{(3)} = \begin{pmatrix} 1 & 0 & 0 & 0 \\ 0 & 1 & 1 & 1 \\ 0 & 1 & 1 & 1 \\ 1 & \mathbf{1} & 1 & 1 \end{pmatrix}$$

Exemplo



$$t_{ij}^{(k)} = t_{ij}^{(k-1)} \vee (t_{ik}^{(k-1)} \wedge t_{kj}^{(k-1)}).$$

$$T^{(3)} = \begin{pmatrix} 1 & 0 & 0 & 0 \\ 0 & 1 & 1 & 1 \\ 0 & 1 & 1 & 1 \\ 1 & 1 & 1 & 1 \end{pmatrix} \quad T^{(4)} = \begin{pmatrix} 1 & 0 & 0 & 0 \\ \color{red}{1} & 1 & 1 & 1 \\ \color{red}{1} & 1 & 1 & 1 \\ 1 & 1 & 1 & 1 \end{pmatrix}$$

Algoritmo de Transitive-Closure

Note que poderíamos usar um bit para cada posição das matrizes $T^{(k)}$ e as operações lógicas \vee e \wedge podem ser implementadas com operadores de bits.

Isto reduz consideravelmente o espaço do ponto de vista prático e pode acelerar o algoritmo se a implementação de operações lógicas for eficiente. Note que isto não afeta a análise assintótica.